

GEOTEHNIČNO POROČILO O RAZISKAVAH TAL IN POGOJIH TEMELJENJA

Objekt: **PRIZIDEK K OSNOVNI ŠOLI »OSKAR KOVAČIČ« NA GALJEVICI**

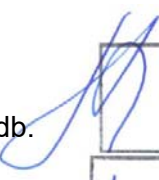
Lokacija: **LJUBLJANA-GALJEVICA**

Naročnik: **MESTNA OBČINA LJUBLJANA**
Mestni trg 1, SI-1000 Ljubljana

Št. poročila: GEO060-01-2017 PRIZIDEK K ŠOLI GALJEVICA-LJUBLJANA

Datum: JULIJ 2017

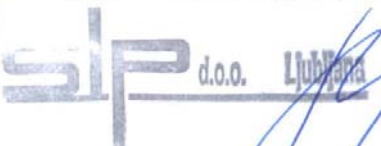
Obdelal:
G.STRNIŠA, univ.dipl.inž.gradb.


GORAZD STRNIŠA
univ. dipl. inž. grad.
IZS G-1623

Pregledal:
I.LESJAK, univ.dipl.inž.gradb.


IVAN LESJAK
univ. dipl. inž. grad.
IZS G-1625

SLP d.o.o. LJUBLJANA
Direktor:
G.STRNIŠA, univ.dipl.inž.gradb.



VSEBINA

| | | |
|--------------------|--|----------|
| T.1.1.1. | SPLOŠNO | 2 |
| T.1.1.2. | TERENSKE PREISKAVE | 2 |
| T.1.1.2.1 | Pregled opravljenih preiskav na vplivni okolici | 2 |
| T.1.1.2.2 | Raziskovalna dela..... | 2 |
| T.1.1.2.3 | Geotehnične meritve | 3 |
| T.1.1.2.3.1 | Inženirsko-geološki pregled terena | 3 |
| T.1.1.4. | GEOTEHNIČNE RAZMERE | 4 |
| T.1.1.4.1 | Geotehnični pregled posameznih slojev | 4 |
| T.1.1.4.2 | Hidrogeološke razmere | 6 |
| T.1.1.4.3 | Seizmičnost terena..... | 6 |
| T.1.1.5 | GEOTEHNIČNO PROJEKTIRANJE | 7 |
| T.1.1.5.1 | Opis načrtovanega posega in konstrukcije..... | 7 |
| T.1.1.5.3 | Uporabljeni standardi | 7 |
| T.1.1.5.4 | Primernost lokacije | 7 |
| T.1.1.5.5 | Geotehnični projektni izračuni | 7 |
| T.1.1.5.6 | Predlog temeljenja..... | 8 |
| T.1.1.6 | GEOTEHNIČNI MONITORING..... | 9 |
| T.1.1.7 | ZAKLJUČKI..... | 9 |

Kazalo slik

| | |
|---|---|
| Slika 1: Lokacija CPTu in SDMT sonde | 2 |
| Slika 2: Geotehnični profil na osnovi izvedenih sond..... | 5 |
| Slika 3: Globina začetka hribine od kote 290.0..... | 8 |

Kazalo tabel

| | |
|---|---|
| Preglednica 1: Pregled izvedenih preiskav tal (2017) | 2 |
| Preglednica 2: Tipična sestava in geotehnični opis tal..... | 6 |

PRILOGE

- 1 SITUACIJA IN GEOTEHNIČNI PRESEK**
- 2 REZULTATI RAZISKAV**
 - **POPISI IN FOTOGRAFIJE SONDAŽNIH IZKOPOV**
 - **STATIČNA KONUSNA PENETRACIJA IN SDMT SONDA**
 - **ARHIVSKI PODATKI**
- 3 IZRAČUNI**

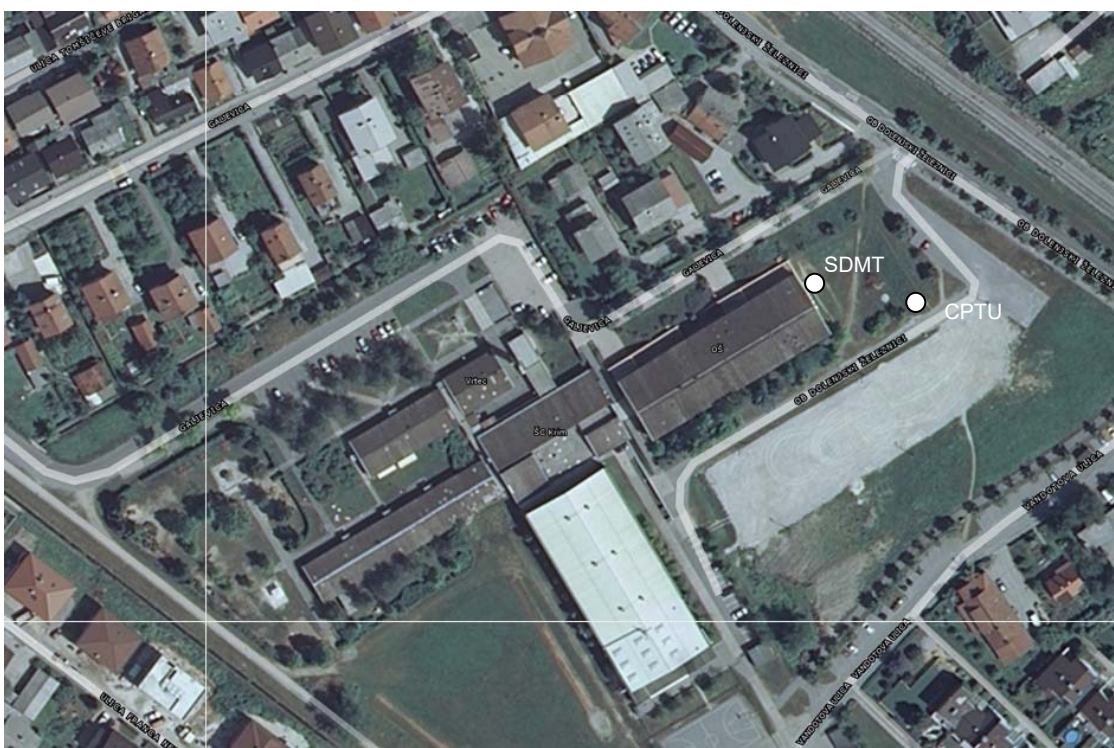
T.1.1.1. SPLOŠNO

Za potrebe načrtovanja temeljenja prizidka OSNOVNE ŠOLE »OSKAR KOVAČIČ« na Galjevici v Ljubljani, so se izvedle dodatne geotehnične preiskave tal.

Namen raziskav je bil določiti lastnosti temeljnih tal do vplivne globine oz. globino nosilnih in manj stisljivih tal za temeljenje objekta.

Sondažna dela so bila izvedena v juniju 2017.

Predhodno je bil pregledan arhiv že izvedenih raziskav v širši okolici in opravljen geološko geotehnični ogleda področja.



Slika 1: Lokacija CPTu in SDMT sonde

T.1.1.2. TERENSKE PREISKAVE

T.1.1.2.1 Pregled opravljenih preiskav na vplivni okolici

Za potrebe načrtovanja novega objekta je bila izvedena ena konusna statična penetracija z meritvami pornih tlakov (CPTU) in ena dilatometrska sonda (DMT).

Na lokaciji obeh sond sta bila izvedena tudi sondažna jaška.

T.1.1.2.2 Raziskovalna dela

Glavni podatki o izvršenih raziskavah so razvidni iz spodnje preglednice.

Preglednica 1: Pregled izvedenih preiskav tal (2017)

| Oznaka na karti | Globina (m) | Abs.kota (m) | x | y | Datum izvedbe | Opombe |
|-----------------|-------------|--------------|--------|-------|---------------|----------|
| SDMT-1 2017 | 19.2 | 290,4 | 463404 | 99001 | 27.6.2017 | J2 |
| CPTU 1-2017 | 15.5 | 290,8 | 463429 | 98999 | 30.6.2017 | J1, DISS |

OPOMBA:

DISS meritve upadanja pornih tlakov

J1..... sondažni razkop do raščenih tal in vgraditev PVC cevi

T.1.1.2.3 Geotehnične meritve

Iz statičnih konusnih penetracij, dilatometerskih raziskav in arhivskih sondažnih vrtin, je bila ugotovljena sestava in trdnostne karakteristike temeljnih tal. Statične konusne penetracije pa so bile izvedene do izčrpanja potisne sile penetrometra oz skozi plasti zaglinjenega proda. Poleg meritev konusnega in trenjskega odpora (q_c in f_s) so bile izvajane tudi meritve pornih tlakov (u) in meritve upadanja pornih tlakov za določitev propustnosti. Pri zvedli SDMT sonde se merijo pritiski za različne pozicije/premike opne (membrane) na merilnem elementu in hitrost strižnih valov »s« med dvema senzorjama na SDMT sondi, ki jih povzroča strižni udarec kladiva na površini.

T.1.1.2.3.1 Inženirsko-geološki pregled terena

Širše območje Galjevice predstavlja obrobje Ljubljanskega barja. Celotno področje udonine zapoljujejo nevezani aluvijalni in jezerski sedimenti, ki mestoma še niso popolnoma konsolidirani.

Za tipično barje so značilne zelo stisljive zemljine v zgornjem delu do globine cca 19 m, dokaj enakomerna sestava relativno tankega dobro nosilnega prodno peščenega sloja in dokaj velika globina do začetka preperine permokarbonske osnove (več kot 30 m). Na vzhodnem delu obravnavane lokacije se hribinska podlaga iz skrilja dviguje, tako da je ob železnici mestoma že na površju.

Na področju osnovne šola se preperina permokarbonske osnove dvigne do globine 14 m pod površjem. Obravnavana lokacija predstavlja barje, prekrito z nekoliko debelejšim nasipom.

Celotno področje je zasičeno s talno vodo, ki po eni strani doteka iz zaledja in polni bolj propustne peščene in gruščnate plasti, ki so vezane na zaledje, po drugi strani se zgornji sloji polnijo z meteorno vodo, ki zaradi slabe propustnosti barjanskih tal zastaja pod nasipom. Na globini cca 18 m je prisotna subarteška podtalnica, ki je ujeta v prodno peščenem sloju, ki se napaja iz celotnega zaledja Ljubljanskega barja. Pod prodno peščenim slojem so do hribinske podlage prisotni pretežno nevezani aluvijalni sedimenti, ki predstavljajo prod s peskom in meljem, ter v ločenih sekvenkah zaglinjen prod s peskom in meljem.

T.1.1.4. GEOTEHNIČNE RAZMERE

T.1.1.4.1 Geotehnični pregled posameznih slojev

Na lokaciji se nahaja pod humusom in zunanjo ureditvijo do 3 m umetnega nasipa iz grušča in drobljenca, ki je v zgornjem metru zelo gost ($Mv \geq 45 \text{ MPa}$; $\phi \geq 35^\circ$; $c=0 \text{ kPa}$), nato pa v srednje gostem stanju ($Mv=20 \text{ MPa}$; $\phi = 33^\circ$; $c = 0 \text{ kPa}$).

Pod nasipom je meljna glina s tankimi peščenimi sloji in organskimi primesmi. ($qc=0.5-2 \text{ MPa}$; $su = 25 \text{ kPa}$; $Mv \geq 5 \text{ MPa}$).

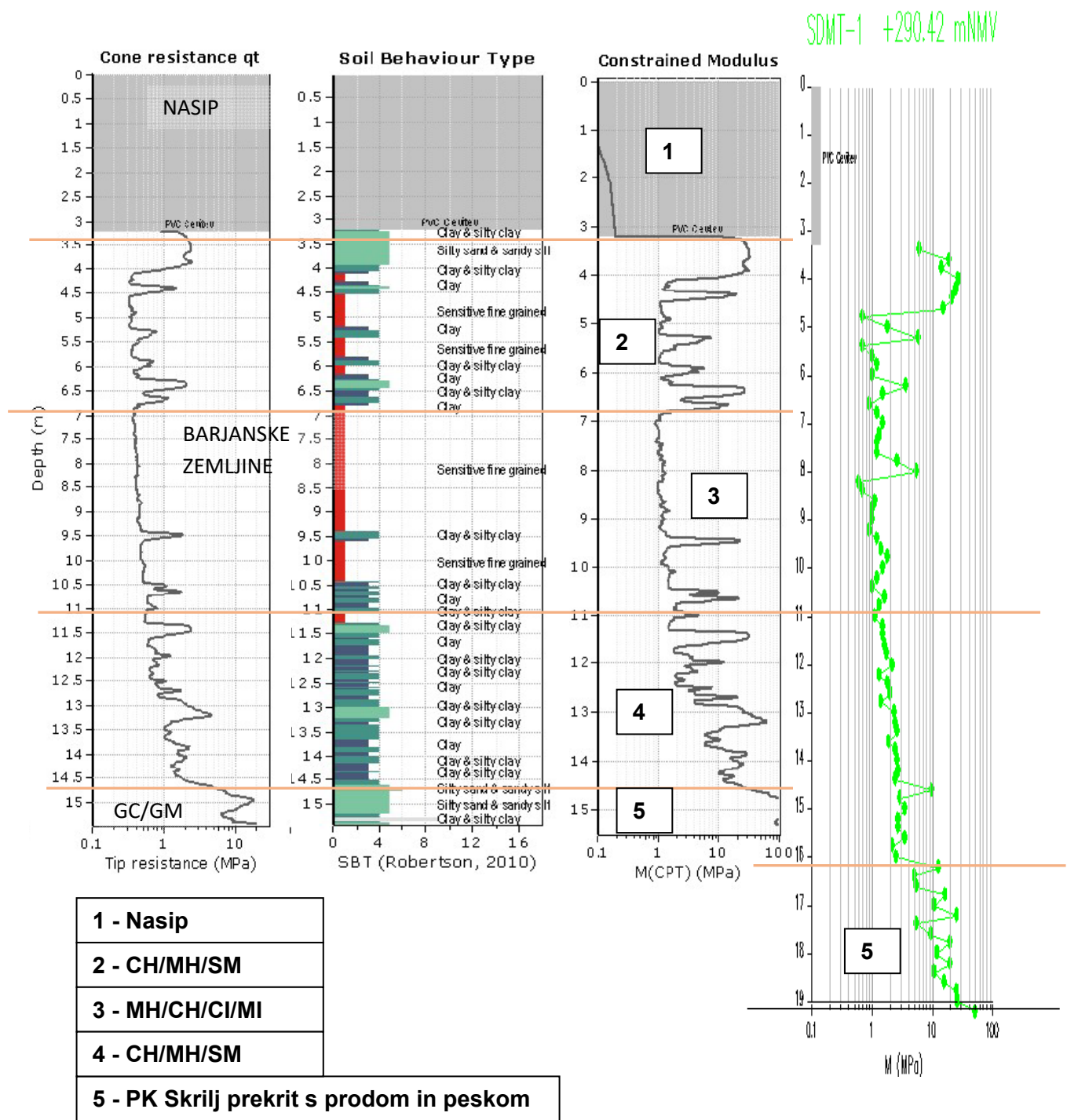
Na globini 7 m se pričnejo židki do lahko gnetni barjanski ($su = 10 - 20 \text{ kPa}$, $Mv \approx 1-1.5 \text{ MPa}$).

Od 11 m do začetka permokarbonske podlage je v barjanskih sedimentih več drobnega peska ($qc= 0.5-3 \text{ MPa}$; $su=30 \text{ kPa}$; $Mv>5 \text{ MPa}$).

Na globinah od 15 m do 19 m se pojavi preperina permokarbonske podlage, ki preide v skrilj. Prepereli del je lahko debel tudi več metrov. Mestoma je hribina prekrita z gostim prodom in peskom. Ta sloj je zelo malo stisljiv.

V prodno peščenih in prodnih slojih nad hribino je prisotna subarteška podtalnica, ki se napaja iz zaledja Ljubljanskega barja in katere vodni tlak sega do 2 m pod površjem.

Tipične razmere so najbolje razvidne iz profilov statičnih konusnih penetracij, iz katerih so jasno razvidna razmerja trdnostnih karakteristik posameznih slojev zemljin.



Slika 2: Geotehnični profil na osnovi izvedenih sond

Preglednica 2: Tipična sestava in geotehnični opis tal

| Sloj | Gl | Opis sestave tal | γ | qc | Su | N ₆₀ | c' | ϕ' | Mv | k |
|------|-------|---|----------|-------|------------|-----------------|-----|---------|-------------|--------------|
| no. | m | Od kote +290.0 | MPa | MPa | kPa | | kPa | ° | MPa | m/s |
| 1 | 0-3 | Umetni nasip (Nasip) | 18 | >15 | | | 0 | 30-37 | >20 | |
| 2 | 3-7 | Meljna glina, s plastmi rahlega peska (CH/MH/SM) | 17 | 0.5-2 | 20-30 (25) | | (1) | (24) | >5 | 1E-6 |
| 3 | 7-11 | Meljna glina z organskimi primesmi pretežno lahko gnetnem, mestoma tudi v židkem stanju (MH/CH/CI/MI) | 18 | 0.4 | 20 | | (1) | (21) | 1-1.5 (1.2) | 1E-8 1E-9 |
| 4 | 11-17 | Meljna glina, s plastmi rahlega peska (CH/MH/SM) | 17 | 0.5-3 | (30) | | (1) | (26) | >5 | 1E-6 |
| 5 | >17 | Preperina permokarbonskega skrilja, ki z globino pridobiva na trdnostnih karakteristikah. V smeri proti zahodu je prekrita s tankim prodno peščenim slojem (PK Skrilj) | 19 | >10 | >400 | >50 | 0 | (35) | >40 | 1E-6 |

T.1.1.4.2 Hidrogeološke razmere

V prodnem sloju in peščenem sloju nad permokarbonsko osnovno je prisotna subarteška podtalnica, ki se napaja iz zaledja Ljubljanskega barja in katere vodni tlak sega do cca 1-2 m pod površjem.

V nasipu je ujeta podtalnica, katere višin je odvisna od padavin.

T.1.1.4.3 Seizmičnost terena

Strižne hitrosti v mejnih in glinenih slojih so od 150 do 250 m/s. Globje od 15m pa so med 300 do 450 ms.

Po slovenskem predstandardu SIST ENV 1998-1-1; 1995, ki upošteva povratno dobo potresov 500 let ima to področje vrednost projektnega pospeška ag= 0.250g.
Tip tal uvrščamo po EC8 v razred D.

T.1.1.5 GEOTEHNIČNO PROJEKTIRANJE

T.1.1.5.1 Opis načrtovanega posega in konstrukcije

Predvidoma se bo gradil pretežno pritličen in nepokleten objekt.

Kota +-0.00 novega objekta bo najverjetneje na koti terena.

Za objekt še niso izdelani načrti, zato obremenitve še niso točno poznane.

T.1.1.5.3 Uporabljeni standardi

Geotehnični načrt je pripravljen skladno z evropskim standardom Evrokod 7-1 za geotehnično projektiranje (SIST EN 1997 -1: 2005)

Pri interpretaciji in analizah so bili upoštevani sledeči pravilniki in standardi:

- Pravilnik o mehanski odpornosti in stabilnosti objektov, UL RS št. 101, 11.11.2005
- SIST EN 1990 Evrokod 0 – Osnove projektiranja
- SIST EN 1997 Evrokod 7 – Geotehnično projektiranje
- SIST EN 1998 Evrokod 8 – Projektiranje potresno odpornih konstrukcij

T.1.1.5.4 Primernost lokacije

Lokacija je ob ustreznih izvedbi oz temeljenju ustrezena za načrtovano gradnjo.

Objekt je z vidika temeljenja uvrščen v kategorijo 3, saj je temeljenje teh objektov zahtevno, s poudarkom na posedanje in vpliv na obstoječe objekte.

T.1.1.5.5 Geotehnični projektni izračuni

Izvedeni so bili izračuni nosilnosti plitvih in globokih temeljev ter ocena posedkov.

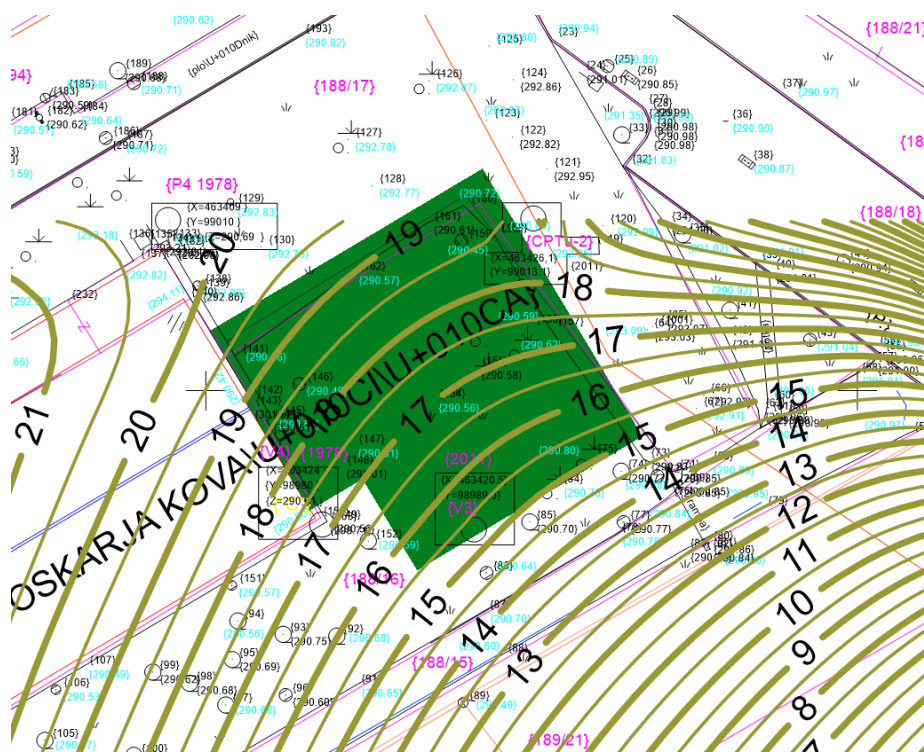
Posedki in nosilnost plitvih temeljev

Zaradi nasipa so dopustna obremenitve za temelje manjših dimenzij dokaj visoke.

Dopustna obremenitev za nefaktorirane obtežbe je za pasovne temelje širine do cca 60 cm in v razmakih več kot 3m, ki so izvedeni v nasipu $\sigma_{dop} = 150$ kPa; projektna pa $\sigma_{d(PP2)} = 220$ kPa. Za nekoliko globje in širše pasovne temelje, (naprimer temelji za stebre montažne hale) je dopustna obremenitev $\sigma_{dop} = 80$ kPa; projektna pa $\sigma_{d(PP2)} = 120$ kPa. Ob tem se razvijejo dokaj visoki posedki velikostnega reda do 10 cm.

Če bi se na širšem področju objekta izvedel nasip debeline 1m bi bili konsolidacijski posedki velikostnega preko 10 cm.

Pri plitvem temeljenju je pričakovani diferenčne posedke, saj se malo stisljiva hribinska podlaga poglablja v smeri proti jugozahodu za cca 4 m. To je razvidno iz izolinije globin permokarbonske podlage (slika 3).



Slika 3: Izohipse globine začetka hribine od kote +290.0 m NMV.

Nosilnost pilotov

Zaradi zelo stisljivih tal pod nasipom, bo skoraj zagotovo smiselno uporabiti temeljenje objekta na pilotih. Posedki objekta izvedenega na pilotih bi bili v rangu do največ 2 cm in bi se izvedli v pretežni meri že v času gradnje.

Potrebno je uporabiti pilote, ki ne bodo vplivali na talno vodo. V poštev torej pridejo zabit AB piloti ali piloti izvedeni po tehnologiji CFA, FDP ali podobno. Pilote je potrebno izvesti v manj preperelo podlago iz permokarbonskega skrilavca, katere začetek se nahaja na globini med 16 do 19 m, merjeno od površja tal ki je na povprečni koti +290.6 m NMV. Konice pilotov se morajo zvesti skozi zelo preperel zgornji del hribine do tal, ki imajo $qc \geq 10$ MPa.

Izračuni nosilnosti posameznih tipov pilotov so prikazani v prilogi (P-31).

T.1.1.5.6 Predlog temeljenja

Predлага se temeljenje objekta na pilotih. Na ta način bo vpliv novega objekta na že obstoječi objekt osnovne šole minimalen.

Predlagamo izvedbo pilotov tipa CFA ali podobne tehnologije, ki zagotavlja čim manjši vpliv na spremembe režima talne vode. Če bo zunanjia ureditev ostala na sedanjih kotah, ni pričakovati diferenčnih posedkov med objektom na pilotih in zunanjim ureditvijo.

T.1.1.6 GEOTEHNIČNI MONITORING

Pred kakršnimi koli posegi ali izvedbo pilotov je potrebno namestiti reperje na okolne objekte, popisati in namestiti merilce na razpoke in poškodbe obstoječih objektov. Po izvedbi gradnje se bo opazovanje izvajalo v skladu z zahtevami v PZI načrtu.

T.1.1.7 ZAKLJUČKI

Na lokaciji prizidka k osnovni šoli se nahaja pod humusom in zunanjo ureditvijo od 2 do 3 m umetnega nasipa iz grušča in drobljenca, ki je v zgornjem metru zelo gost, nato pa v srednje gostem stanju.

Na področju osnovne šole se pod nasipom pojavi najprej peščeni sloji, pomešani z barjanskimi zemljinami, tako da je stisljivost zemljine pod nasipom do globine cca 10m manjša. Nato pa sledi od 5 do 7m debel sloj tipičnih barjanskih zemljin (meljna glina z organskimi primesmi) v lahkognetni konsistenci, ki so zelo stisljive. Na globini od 14 do 17 m se pojavlja preperel in nato kompakten črn permokarbonski skrilj.

V prodnem sloju na globini 19 m in pesku nad hribinsko podlago iz skrilja je prisotna subarteška podtalnica, ki se napaja iz celotnega zaledja Ljubljanskega barja in katere vodni tlak sega do 2 m pod površjem.

Dopustna obremenitev pasovnih temeljev širine do 80 cm izvedenih v nasipu za nefaktorirane obremenitve je sicer dokaj visoka (večja kot 80 kPa; projektna pa večja kot 120 kPa), vendar so ob tem pričakovani dokaj veliki posedki in diferenčni posedki.

Za zunanjo ureditev in dovozne poti na lokaciji objekt ne bo potrebno izvajati zamenjav zemljine, saj je debelina obstoječega nasipa od 2 do 3m. Po potrebi se za povozne lokacije zamenja zgornji sloj z zmrzlinsko odpornim materialom, ki se ga uvalja in dokaže deformacijske module $E_v >= 80 \text{ MPa}$.

Predlaga se temeljenje prizidka k šoli na pilotih do hribinske podlage. Na ta način bo vpliv novega objekta na že obstoječ objekt minimalen. Predlagamo izvedbo pilotov tipa CFA, FDP ali podobne tehnologije, ki zagotavlja čim manjši vpliv na spremembe režima talne vode.

Za pilotiranje je potrebno izdelati PGD/PZI načrt.

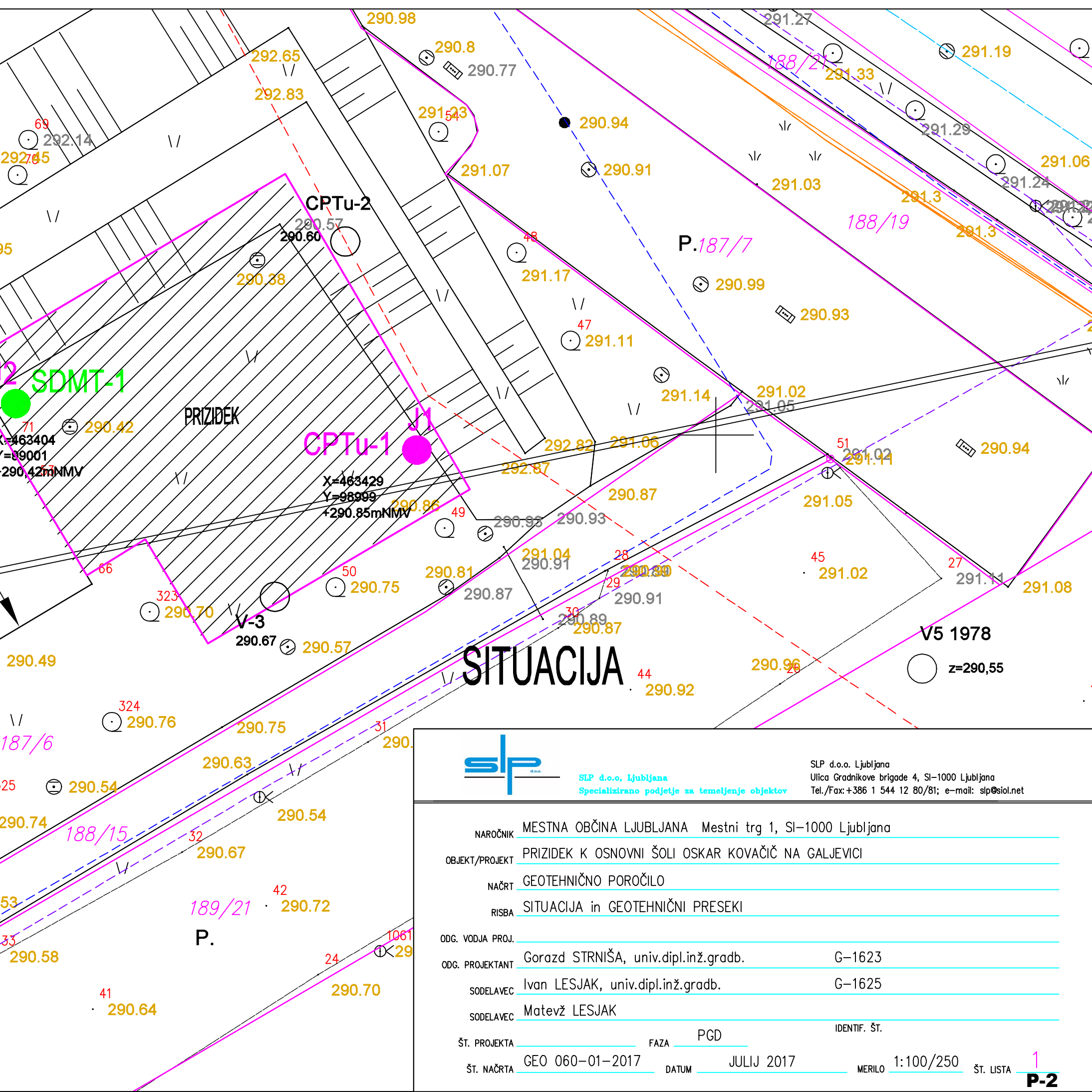
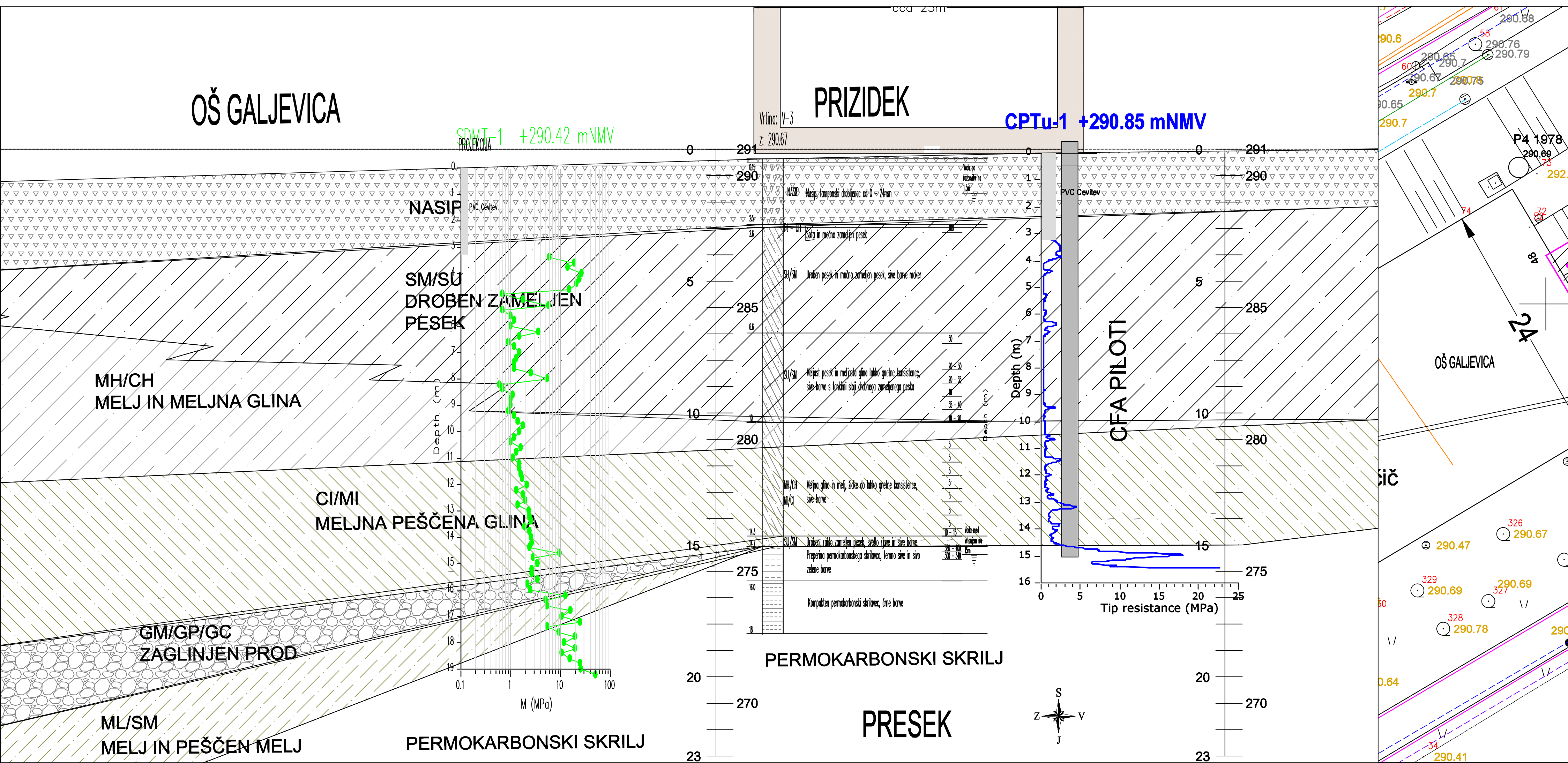
V času geotehničnih del je potrebno zagotoviti geotehnični nadzor in monitoring sosednjega objekta.

Obdelal:

Gorazd STRNIŠA, univ.dipl.inž.gradb.

PRILOGA 1

SITUACIJA IN GEOTEHNIČNI PRESEK



PRILOGA 2**REZULTATI RAZISKAV****POPISI IN FOTOGRAFIJE SONDAŽNIH IZKOPOV****STATIČNE KONUSNE PENETRACIJE IN DILATOMETERSKA RAZISKAVA****ARHIVSKI PODATKI**

Vrtina: J-1 (CPTu-1)

Projekt: OŠ OSKARJA KOVAČIČA
 Lokacija: Ljubljana
 Naročnik: MOL
 Izvajalec izkopov: SLP d.o.o. Ljubljana

Datum: 23.06.2017

X: 463429,8751

Y: 98999,1992

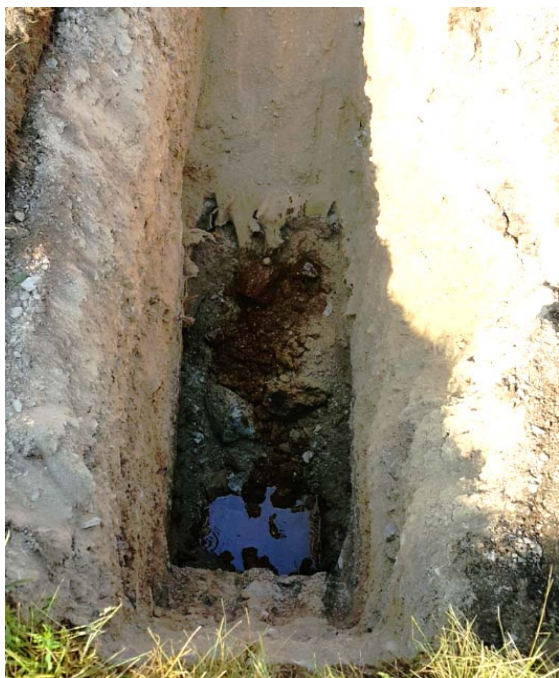
Z: 290,86

mNMV

K₆₀:

| Od | Do | Δ | AC | Opis |
|------|------|----------|-------|--|
| 0 | 0.05 | 0.05 | HUMUS | Humus |
| 0.05 | 3.1 | 3.05 | NASIP | Umetni nasip: - večji kosi premera do 30cm, prisotni so do globine cca 1.5m - na globini 1.5m se pojavi geotekstil - nadalje je plast nasipa sestavljena iz kosov apnenca velikosti tudi do 0.7m. |
| 3.1 | 3.2 | 0.1 | CL | Glina, sive barve. |

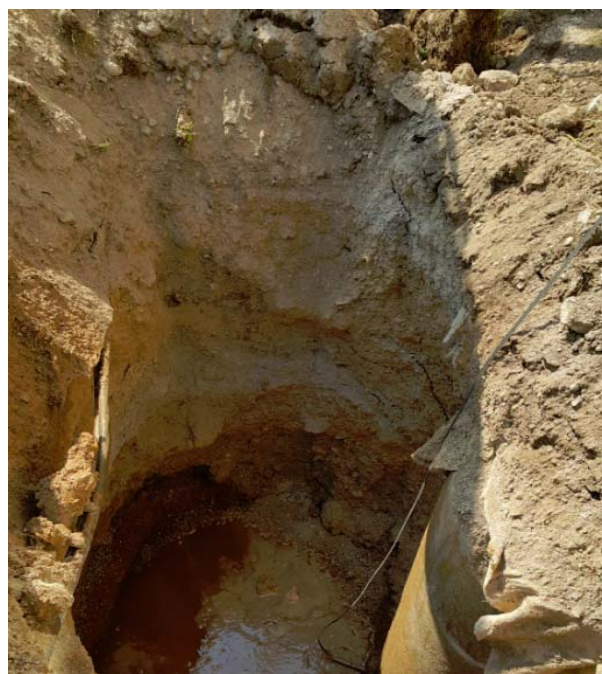
VODA: Pojav vode na globini 3m.



| | | | | | |
|---|--|--|--|--|-------------------|
| Vrtina: J-2(SDMT) | | | | | Datum: 23.06.2017 |
| Projekt: O. Š. OSKARJA KOVAČIČA GALJEVICA | | | | | X: 463404,1142 |
| Lokacija: Ljubljana | | | | | Y: 99001,8446 |
| Naročnik: MOL | | | | | Z: 290,42 mNMV |
| Izvajalec izkopov: SLP d.o.o. Ljubljana | | | | | K ₆₀ : |

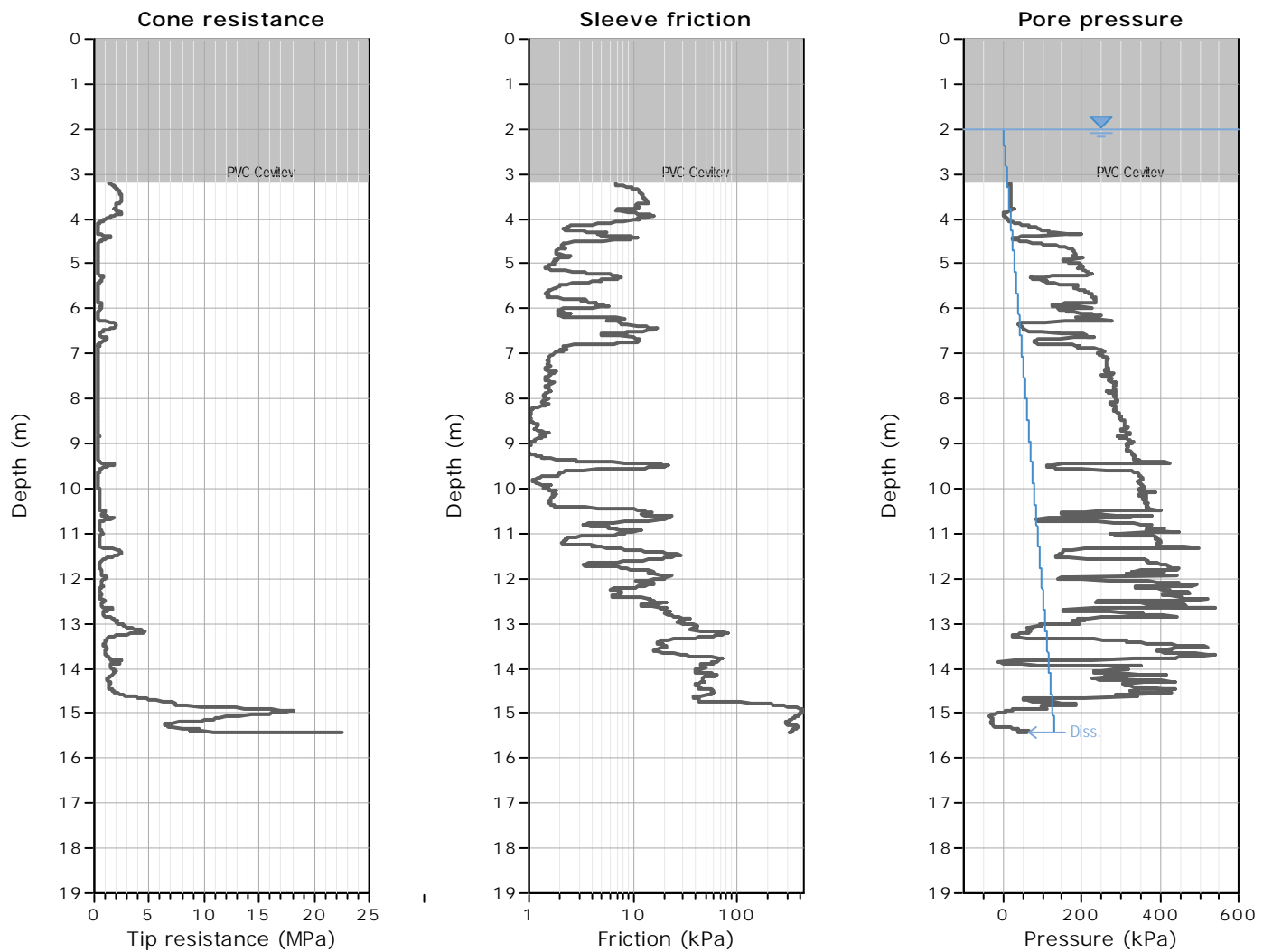
| Od | Do | Δ | AC | Opis | |
|------|------|------|-------|---|--|
| 0 | 0.05 | 0.05 | HUMUS | Humus | |
| 0.05 | 3 | 3 | NASIP | Umetni nasip: - večji kosi premera do 30cm, prisotni so do globine cca 1.5m. - Med globinama 2m in 3m se pojavijo kosi apnenca premera do 1m. | |
| 3 | 3.1 | 0.1 | CL | Glina, sive barve. | |

VODA: Pojav vode na globini 2.8m.



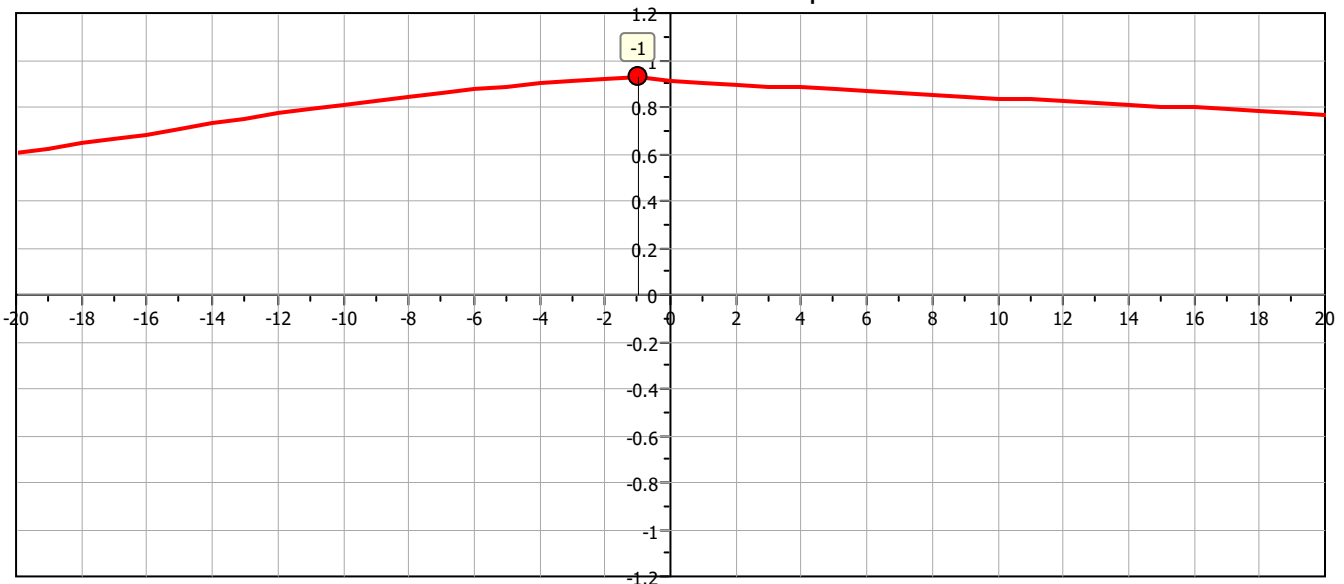
Project: OŠ Oskar Kovačič

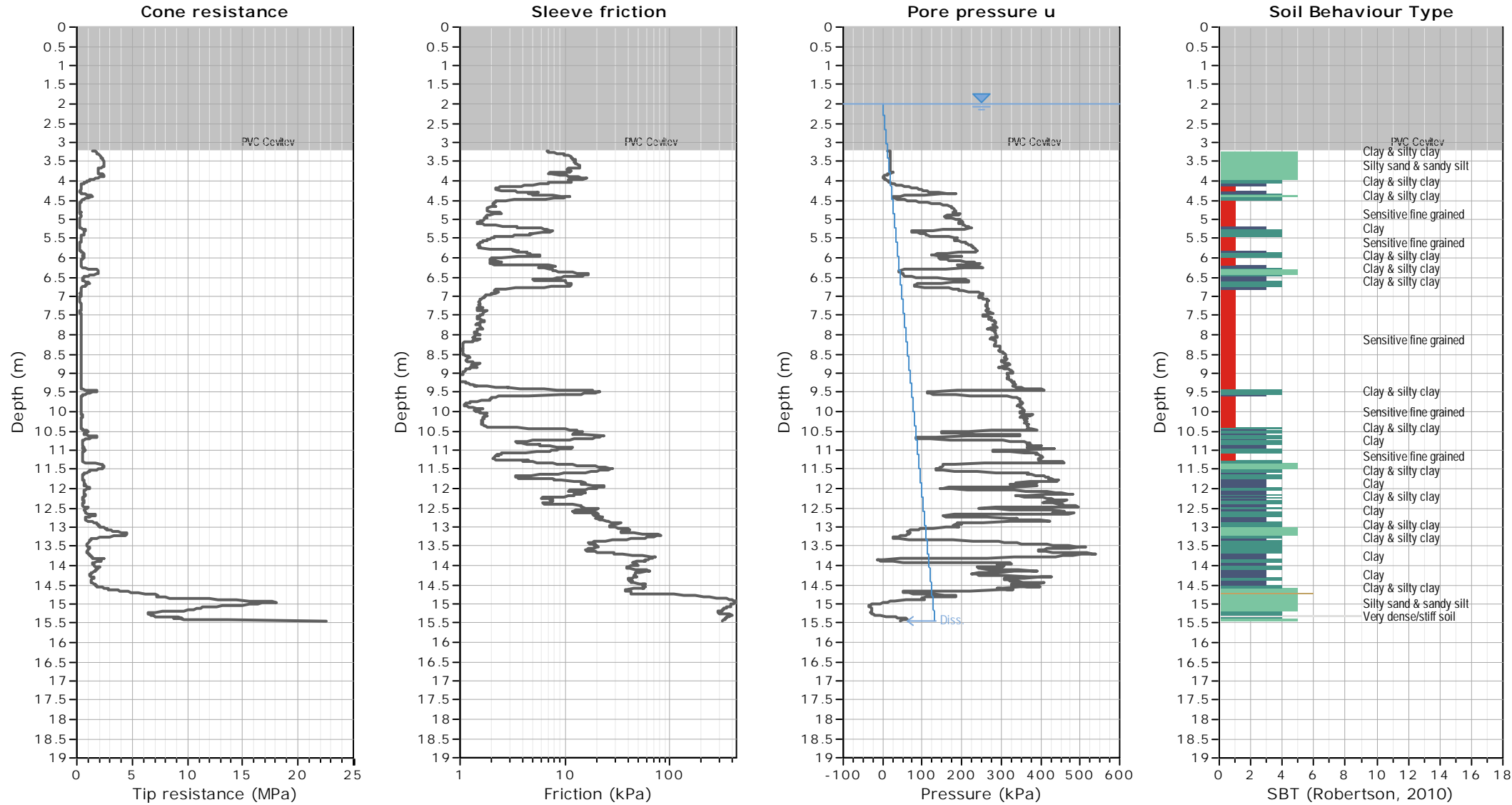
Location: Ljubljana

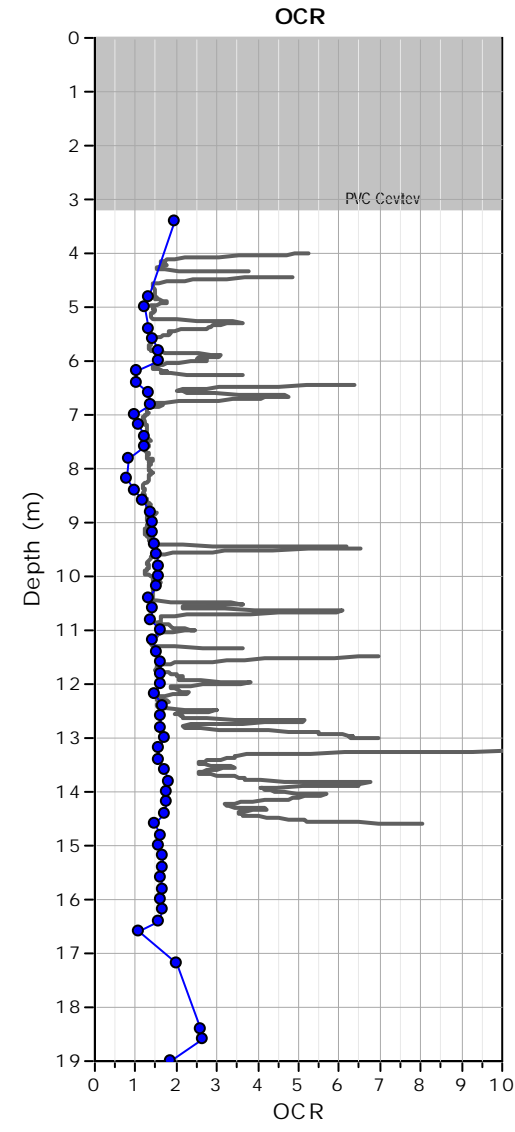
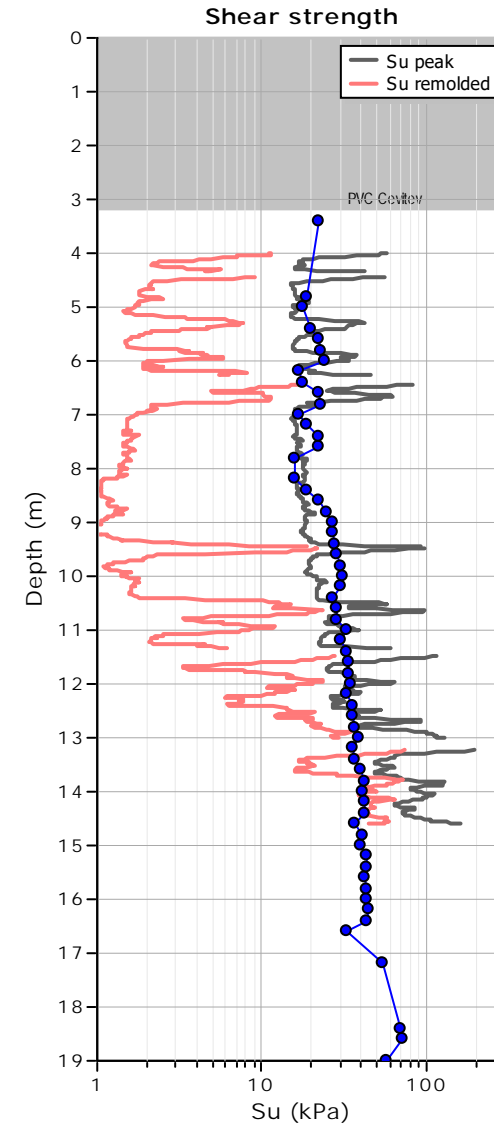
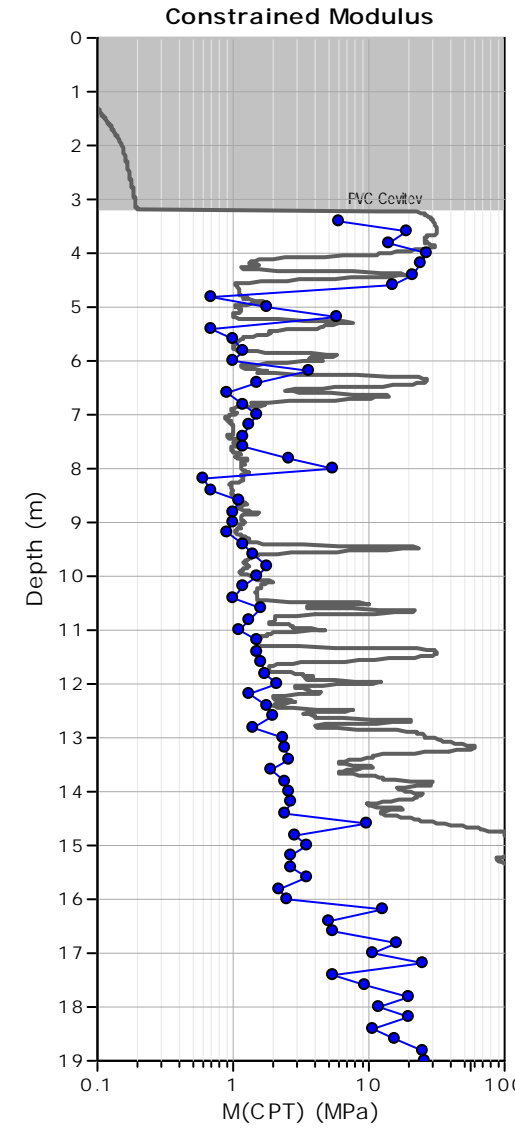
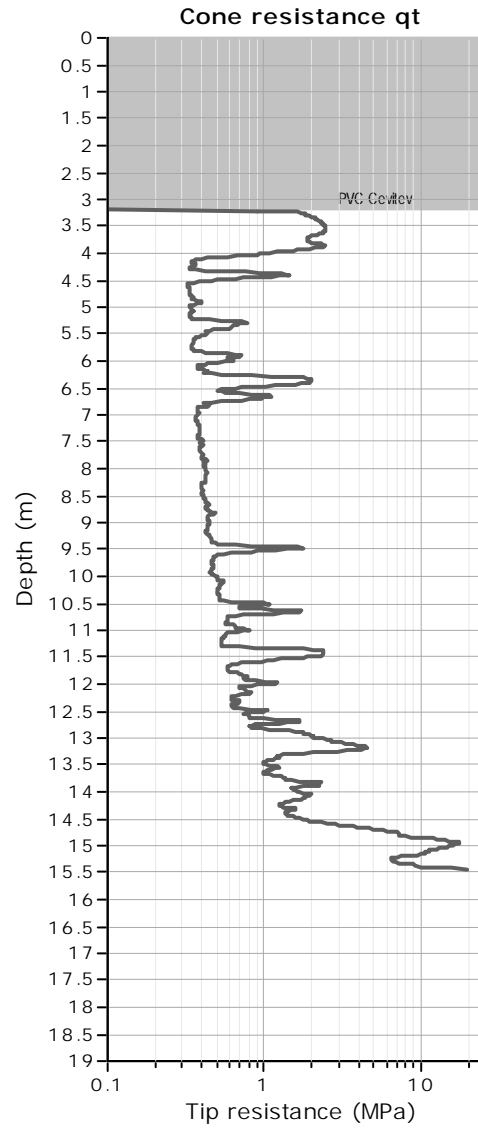


The plot below presents the cross correlation coefficient between the raw qc and fs values (as measured on the field). X axes presents the lag distance (one lag is the distance between two successive CPT measurements).

Cross correlation between qc & fs







Dissipation Tests Results

Dissipation tests

Dissipation tests consists of stopping the piezocene penetration and observing porepressures (u) with elapsed time (t). The data are automatic recorded by the field computer and should take place until a minimum of 50% dissipation.

The porepressures are plotted as a function of square root of (t). The graphical technique suggested by Robertson and Campanella (1989), yields a value for t_{50} , which corresponds to the time for 50% consolidation.

The value of the coefficient of consolidation in the radial or horizontal direction c_h was then calculated by Housby and Teh's (1988) theory using the following equation:

$$c_h = \frac{T \times r^2 \times I_r^{0.5}}{t_{50}}$$

where:

T: time factor given by Housby and Teh's (1988) theory corresponding to the porepressure position

r: piezocene radius

I_r : stiffness index, equal to shear modulus G divided by the undrained strength of clay (S_u).

t_{50} : time corresponding to 50% consolidation

Permeability estimates based on dissipation test

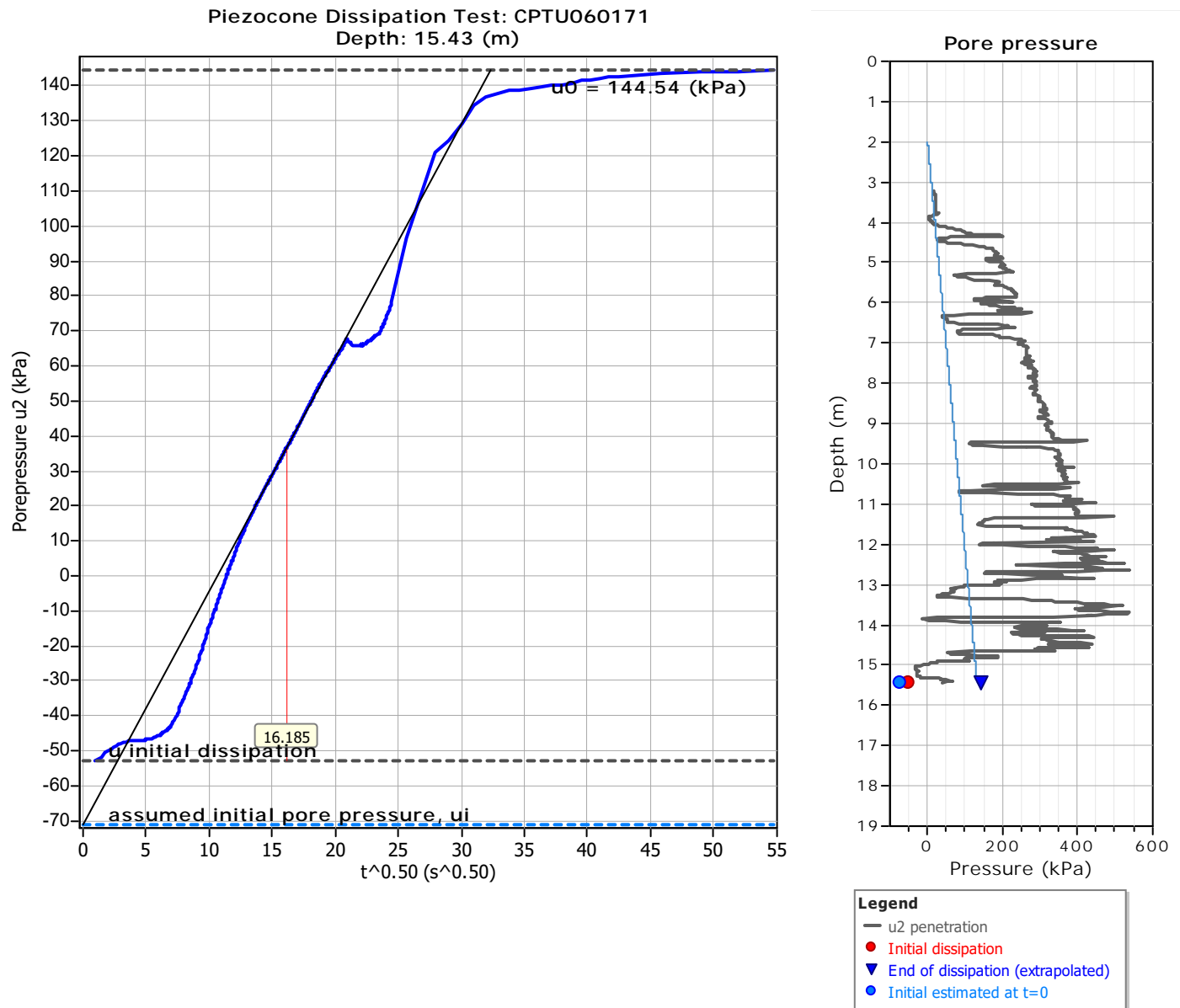
The dissipation of pore pressures during a CPTu dissipation test is controlled by the coefficient of consolidation in the horizontal direction (c_h) which is influenced by a combination of the soil permeability (k_h) and compressibility (M), as defined by the following:

$$k_h = c_h \times \gamma_w / M$$

where: M is the 1-D constrained modulus and γ_w is the unit weight of water, in compatible units.

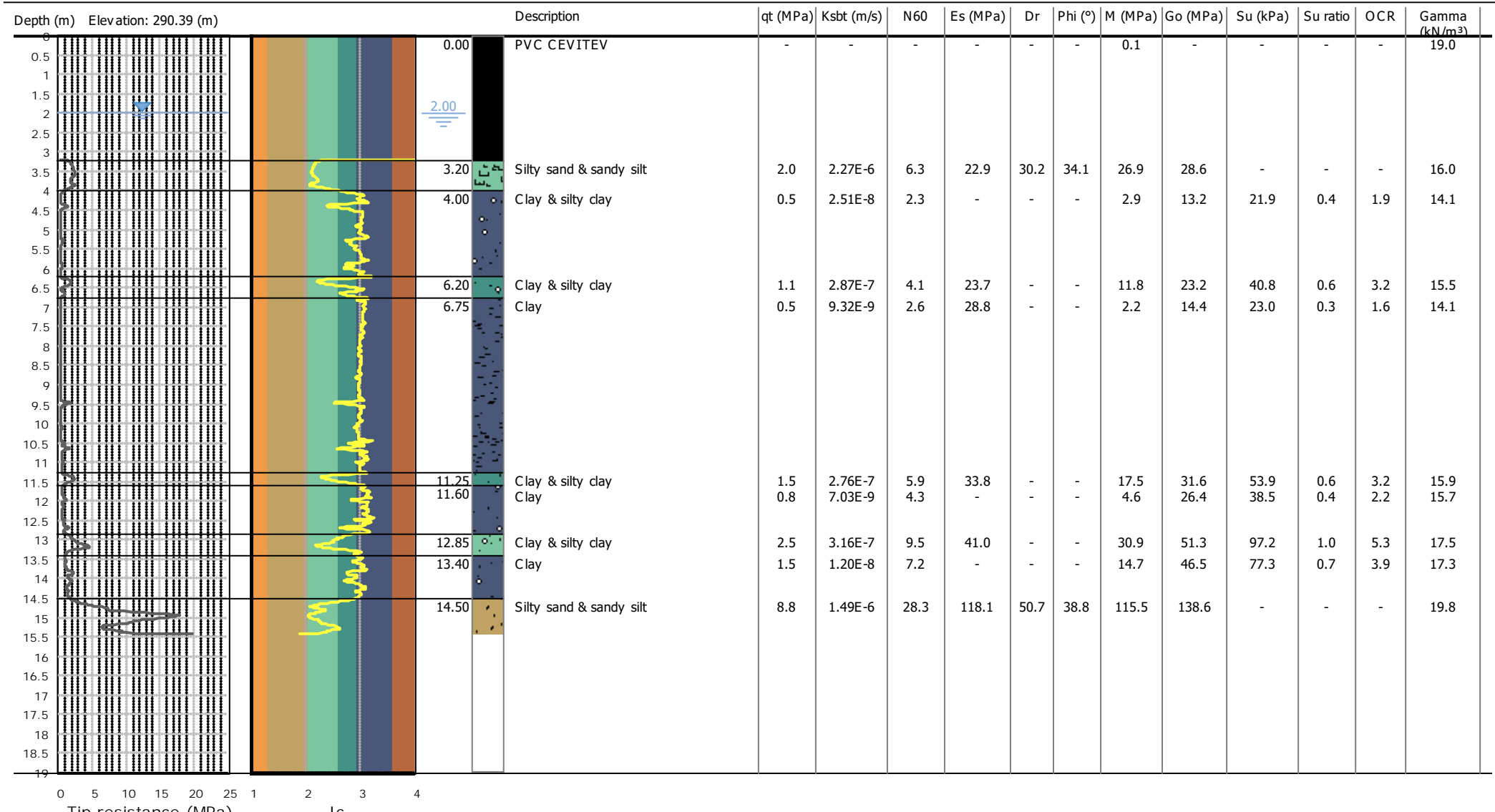
Tabular results

| CPTU Borehole | Depth (m) | $(t_{50})^{0.50}$ | t_{50} (s) | t_{50} (years) | G/S_u | c_h (m^2/s) | c_h ($m^2/year$) | M (MPa) | k_h (m/s) |
|---------------|-----------|-------------------|--------------|------------------|---------|-------------------|----------------------|---------|-----------------|
| CPTU060171 | 15.43 | 16.2 | 262 | 8.31E-006 | 50.00 | 2.21E-006 | 70 | 173.62 | 1.25E-010 |



Project: OŠ Oskar Kovačič

Location: Ljubljana





SLP d.o.o. Ljubljana
 Ul.Gradnikove brigade 4
 1000 Ljubljana, Slovenia
www.slp-pile.com contact@slp-pile.com

Project: OŠ Oskar Kovačič
Location: Ljubljana

CPT: CPTU060171

Total depth: 15.43 m, Date: 30. 06. 2017

Surface Elevation: 290.39 m

Coords: X:463429.00, Y:98999.00

Cone Type: MKJ420

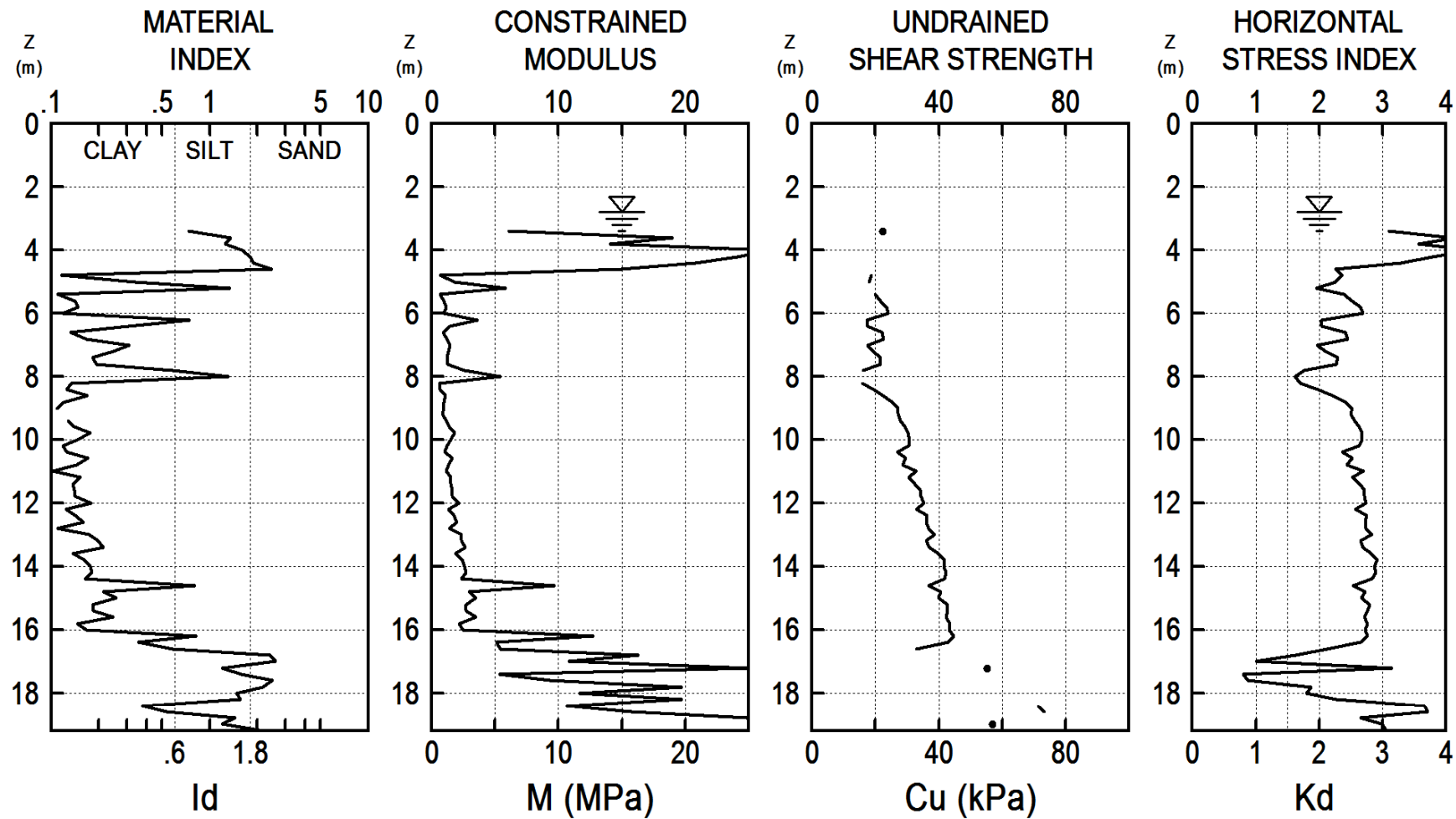
Cone Operator: ML & DZ

Summary table of mean values

| From depth To depth (m) | Thickness (m) | Permeability (m/s) | SPT _{N60} (blows/30cm) | E _s (MPa) | D _r | Friction angle | Constrained modulus, M (MPa) | Shear modulus, G ₀ (MPa) | Undrained strength, S _u (kPa) | Undrained strength ratio | OCR | Unit weight (kN/m ³) |
|-------------------------------|------------------|-----------------------|------------------------------------|-------------------------|----------------|-------------------|------------------------------------|---|--|--------------------------------|--------|-------------------------------------|
| 0.00 | 3.20 | 0.00E+00 | 0.0 | 0.0 | 0.0 | 0.0 | 0.1 | 0.0 | 0.0 | 0.0 | 0.0 | 19.0 |
| | | (±0.00E+00) | (±0.0) | (±0.0) | (±0.0) | (±0.0) | (±0.1) | (±0.0) | (±0.0) | (±0.0) | (±0.0) | (±0.0) |
| 3.20 | 0.80 | 2.27E-06 | 6.3 | 22.9 | 30.2 | 34.1 | 26.9 | 28.6 | 0.0 | 0.0 | 0.0 | 16.0 |
| | | (±1.07E-06) | (±0.8) | (±2.1) | (±2.6) | (±0.9) | (±5.4) | (±2.7) | (±0.0) | (±0.0) | (±0.0) | (±0.5) |
| 4.00 | 2.20 | 2.51E-08 | 2.3 | 0.0 | 0.0 | 0.0 | 2.9 | 13.2 | 21.9 | 0.4 | 1.9 | 14.1 |
| | | (±6.54E-08) | (±0.7) | (±0.0) | (±0.0) | (±0.0) | (±3.4) | (±3.5) | (±9.0) | (±0.1) | (±0.8) | (±0.6) |
| 6.20 | 0.55 | 2.87E-07 | 4.1 | 23.7 | 0.0 | 0.0 | 11.8 | 23.2 | 40.8 | 0.6 | 3.2 | 15.5 |
| | | (±4.79E-07) | (±1.3) | (±0.6) | (±0.0) | (±0.0) | (±8.9) | (±5.1) | (±16.3) | (±0.2) | (±1.2) | (±0.5) |
| 6.75 | 4.50 | 9.32E-09 | 2.6 | 28.8 | 0.0 | 0.0 | 2.2 | 14.4 | 23.0 | 0.3 | 1.6 | 14.1 |
| | | (±1.79E-08) | (±1.0) | (±1.2) | (±0.0) | (±0.0) | (±3.3) | (±5.5) | (±12.8) | (±0.1) | (±0.8) | (±0.8) |
| 11.25 | 0.35 | 2.76E-07 | 5.9 | 33.8 | 0.0 | 0.0 | 17.5 | 31.6 | 53.9 | 0.6 | 3.2 | 15.9 |
| | | (±3.49E-07) | (±2.0) | (±0.7) | (±0.0) | (±0.0) | (±11.8) | (±9.3) | (±30.0) | (±0.3) | (±1.8) | (±1.0) |
| 11.60 | 1.25 | 7.03E-09 | 4.3 | 0.0 | 0.0 | 0.0 | 4.6 | 26.4 | 38.5 | 0.4 | 2.2 | 15.7 |
| | | (±1.35E-08) | (±0.9) | (±0.0) | (±0.0) | (±0.0) | (±3.9) | (±5.3) | (±14.1) | (±0.1) | (±0.8) | (±0.6) |
| 12.85 | 0.55 | 3.16E-07 | 9.5 | 41.0 | 0.0 | 0.0 | 30.9 | 51.3 | 97.2 | 1.0 | 5.3 | 17.5 |
| | | (±4.88E-07) | (±2.8) | (±9.2) | (±0.0) | (±0.0) | (±16.3) | (±11.2) | (±33.7) | (±0.3) | (±1.8) | (±0.6) |
| 13.40 | 1.10 | 1.20E-08 | 7.2 | 0.0 | 0.0 | 0.0 | 14.7 | 46.5 | 77.3 | 0.7 | 3.9 | 17.3 |
| | | (±1.07E-08) | (±1.4) | (±0.0) | (±0.0) | (±0.0) | (±6.5) | (±8.8) | (±21.2) | (±0.2) | (±1.1) | (±0.6) |
| 14.50 | 0.93 | 1.49E-06 | 28.3 | 118.1 | 50.7 | 38.8 | 115.5 | 138.6 | 0.0 | 0.0 | 0.0 | 19.8 |
| | | (±1.60E-06) | (±12.1) | (±41.2) | (±11.5) | (±2.3) | (±57.0) | (±51.9) | (±0.0) | (±0.0) | (±0.0) | (±1.2) |

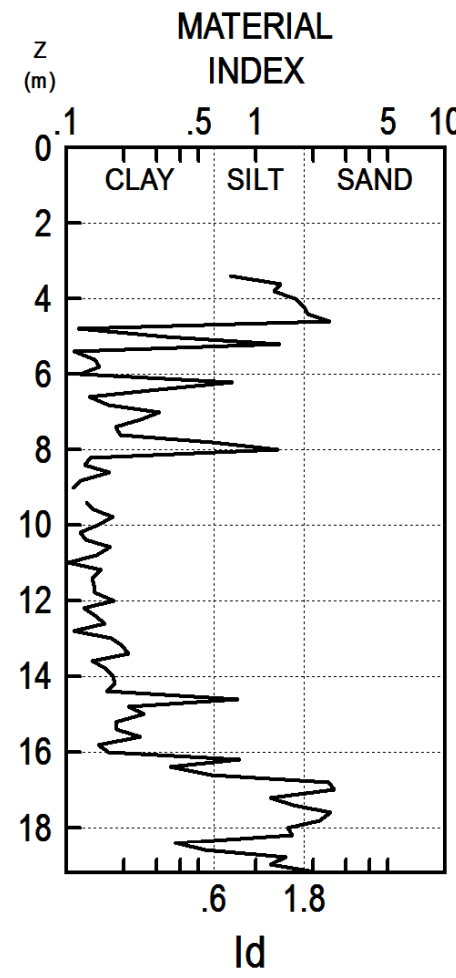
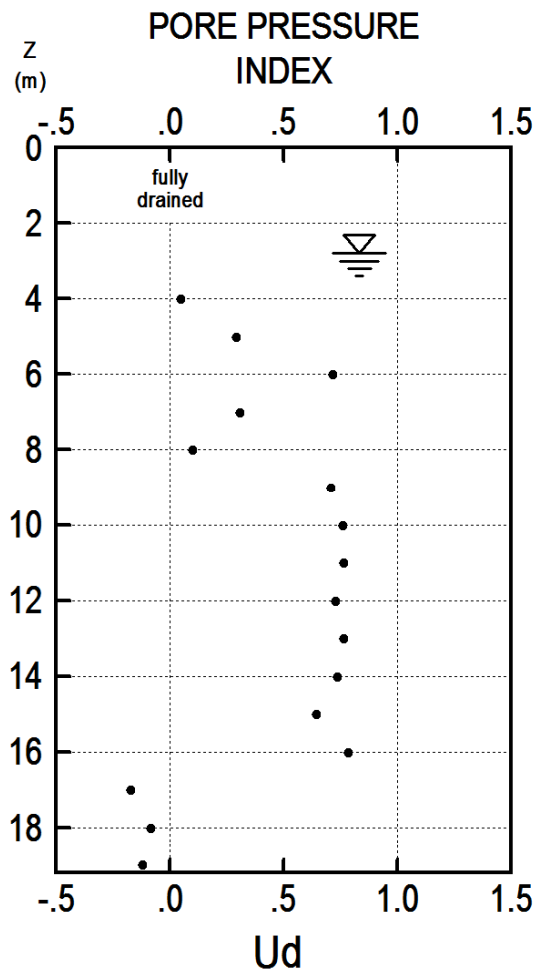
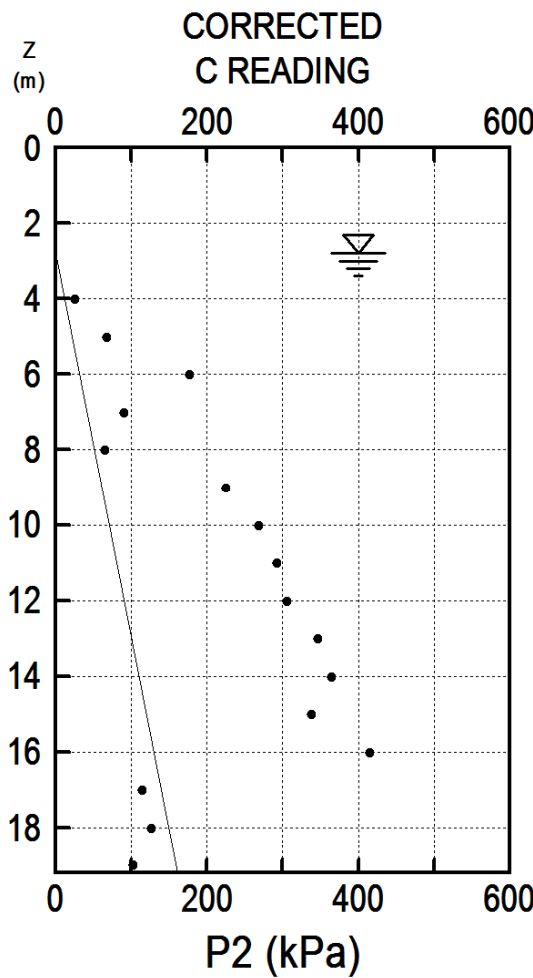
Depth values presented in this table are measured from free ground surface

SLP d.o.o. Ljubljana
 OŠ OSKAR KOVĀEIÈ
 INTERPRETED GEOTECHNICAL PARAMETERS
 MOL
 LJUBLJANA
 TEST
SDMT 1
 27 JUN 2017



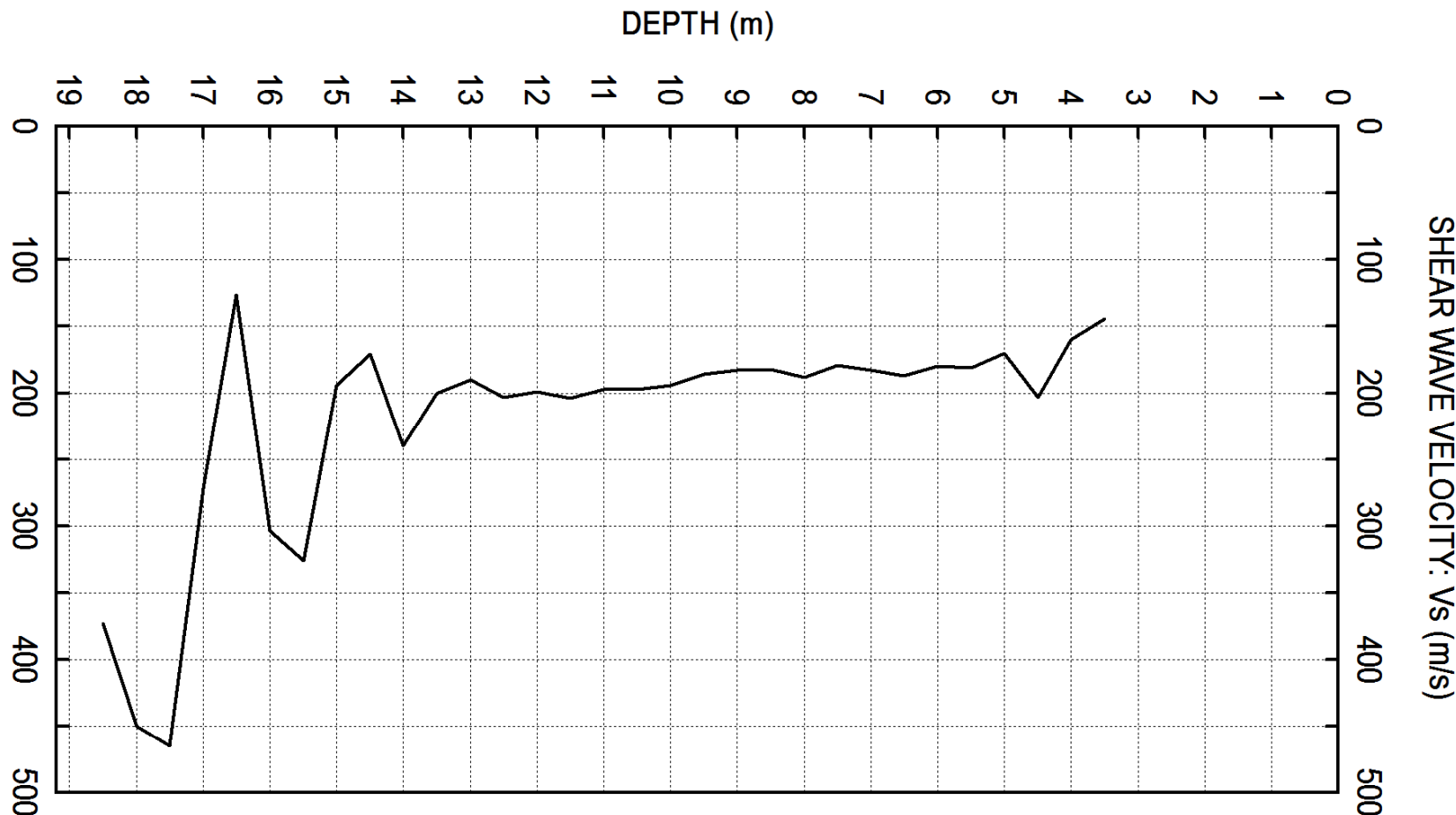
DILATOMETER TEST (D M T)

SLP d.o.o. Ljubljana
 OŠ OSKAR KOVĀÈI
 INTERPRETED GEOTECHNICAL PARAMETERS
 MOL
 LJUBLJANA
 TEST
SDMT 1
 27 JUN 2017



SEISMIC DILATOMETER TEST (S D M T)

SLP d.o.o. Ljubljana MOL
OŠ OSKAR KOVĀEIÈ LJUBLJANA
TEST
SDMT 1
27 JUN 2017



| SDMT 1 | | | | | | | | LEGEND | | | | | | | | | | INTERPRETED PARAMETERS | | | | | | GENERAL PARAMETERS | | | |
|--|--|--|--|--|--|--|--|--|--|--|--|--|--|--|--|--|--|--|--|--|--|--|--|---|--|--|--|
| 27 JUN 2017 | | | | | | | | Z = Depth Below Ground Level Po,P1,P2 = Corrected A,B,C readings Id = Material Index Ed = Dilatometer Modulus Ud = Pore Press. Index = $(P_2 - U_0) / (P_0 - U_0)$ Gamma = Bulk unit weight Sigma' = Effective overb. stress Uo = Pore pressure | | | | | | | | | | Phi = Safe floor value of Friction Angle Ko = In situ earth press. coeff. M = Constrained modulus (at Sigma') Cu = Undrained shear strength Ocr = Overconsolidation ratio (OCR = 'relative OCR'- generally realistic. If accurate independent OCR available, apply suitable factor) | | | | | | DeltaA = 17 kPa DeltaB = 48 kPa GammaTop = 19.0 kN/m ³ FactorEd = 34.7 ZMCAL = 0.0 kPa ZMAB = 0.0 kPa ZMC = 0.0 kPa Zabs = 290.42 m Zw = 2.8 m | | | |
| SLP d.o.o. Ljubljana MOL OŠ OSKAR KOVACIČ LJUBLJANA | | | | | | | | | | | | | | | | | | | | | | | | | | | |
| | | | | | | | | | | | | | | | | | | | | | | | | | | | |
| | | | | | | | | | | | | | | | | | | | | | | | | | | | |

WaterTable at 2.80 m

Reduction formulae according to Marchetti, ASCE Geot.Jnl.Mar. 1980, Vol.109, 299-321; Phi according to TC16 ISSMGE, 2001

| Z (m) | A (kPa) | B (kPa) | C (kPa) | Po (kPa) | P1 (kPa) | P2 (kPa) | Gamma (kN/m ³) | Sigma' (kPa) | Uo (kPa) | Id | Kd | Ed (MPa) | Ud | Ko | Ocr | Phi (Deg) | M (MPa) | Cu (kPa) | SDMT 1 DESCRIPTION |
|----------|------------|------------|------------|-------------|-------------|-------------|-------------------------------|-----------------|-------------|------|-----|-------------|------|------|------|--------------|------------|-------------|-----------------------|
| 3.4 | 177 | 369 | | 188 | 321 | | 16.7 | 59 | 6 | 0.73 | 3.1 | 4.6 | | 0.80 | 2.0 | | 6.1 | 22 | CLAYEY SILT |
| 3.6 | 255 | 638 | | 256 | 590 | | 16.7 | 60 | 8 | 1.35 | 4.1 | 11.6 | | | 36 | 19.0 | | | SANDY SILT |
| 3.8 | 225 | 550 | | 229 | 502 | | 16.7 | 61 | 10 | 1.25 | 3.6 | 9.5 | | | 35 | 14.1 | | | SANDY SILT |
| 4.0 | 295 | 786 | 8 | 291 | 738 | 25 | 17.7 | 63 | 12 | 1.60 | 4.4 | 15.5 | 0.05 | | 37 | 26.7 | | | SANDY SILT |
| 4.2 | 261 | 745 | | 257 | 697 | | 18.6 | 64 | 14 | 1.81 | 3.8 | 15.3 | | | 36 | 24.1 | | | SILTY SAND |
| 4.4 | 236 | 693 | | 233 | 645 | | 17.7 | 66 | 16 | 1.89 | 3.3 | 14.3 | | | 35 | 20.8 | | | SILTY SAND |
| 4.6 | 171 | 593 | | 170 | 545 | | 17.7 | 68 | 18 | 2.46 | 2.3 | 13.0 | | | 33 | 15.0 | | | SILTY SAND |
| 4.8 | 167 | 250 | | 183 | 202 | | 14.7 | 69 | 20 | 0.12 | 2.4 | 0.7 | | 0.64 | 1.3 | | 0.7 | 19 | MUD |
| 5.0 | 166 | 282 | 51 | 180 | 234 | 68 | 15.7 | 70 | 22 | 0.34 | 2.3 | 1.9 | 0.29 | 0.61 | 1.2 | | 1.8 | 18 | SILTY CLAY |
| 5.2 | 155 | 397 | | 163 | 349 | | 15.7 | 71 | 24 | 1.33 | 2.0 | 6.4 | | | 32 | 5.8 | | | SANDY SILT |
| 5.4 | 183 | 266 | | 199 | 218 | | 14.7 | 73 | 26 | 0.11 | 2.4 | 0.7 | | 0.64 | 1.3 | | 0.7 | 20 | MUD |
| 5.6 | 197 | 287 | | 213 | 239 | | 14.7 | 74 | 27 | 0.14 | 2.5 | 0.9 | | 0.67 | 1.4 | | 1.0 | 22 | MUD |
| 5.8 | 212 | 305 | | 228 | 257 | | 14.7 | 75 | 29 | 0.15 | 2.7 | 1.0 | | 0.71 | 1.6 | | 1.2 | 23 | MUD |
| 6.0 | 219 | 307 | 160 | 235 | 259 | 177 | 14.7 | 76 | 31 | 0.12 | 2.7 | 0.8 | 0.72 | 0.72 | 1.6 | | 1.0 | 24 | MUD |
| 6.2 | 178 | 354 | | 189 | 306 | | 15.7 | 77 | 33 | 0.75 | 2.0 | 4.0 | | 0.55 | 1.0 | | 3.6 | 17 | CLAYEY SILT |
| 6.4 | 179 | 290 | | 194 | 242 | | 15.7 | 78 | 35 | 0.30 | 2.0 | 1.7 | | 0.55 | 1.0 | | 1.5 | 18 | CLAY |
| 6.6 | 212 | 301 | | 228 | 253 | | 14.7 | 79 | 37 | 0.13 | 2.4 | 0.9 | | 0.65 | 1.3 | | 0.9 | 22 | MUD |
| 6.8 | 219 | 315 | | 234 | 267 | | 14.7 | 80 | 39 | 0.17 | 2.4 | 1.1 | | 0.66 | 1.4 | | 1.2 | 23 | MUD |
| 7.0 | 186 | 298 | 73 | 201 | 250 | 90 | 15.7 | 81 | 41 | 0.31 | 2.0 | 1.7 | 0.31 | 0.54 | 0.98 | | 1.5 | 17 | CLAY |
| 7.2 | 200 | 305 | | 215 | 257 | | 15.7 | 82 | 43 | 0.24 | 2.1 | 1.5 | | 0.57 | 1.1 | | 1.3 | 19 | CLAY |
| 7.4 | 220 | 318 | | 235 | 270 | | 15.7 | 83 | 45 | 0.18 | 2.3 | 1.2 | | 0.62 | 1.2 | | 1.2 | 22 | CLAY |
| 7.6 | 223 | 323 | | 238 | 275 | | 15.7 | 84 | 47 | 0.19 | 2.3 | 1.3 | | 0.61 | 1.2 | | 1.2 | 22 | CLAY |
| 7.8 | 187 | 336 | | 200 | 288 | | 15.7 | 86 | 49 | 0.59 | 1.8 | 3.1 | | 0.48 | 0.82 | | 2.6 | 16 | SILTY CLAY |
| 8.0 | 183 | 423 | 48 | 191 | 375 | 65 | 15.7 | 87 | 51 | 1.31 | 1.6 | 6.4 | 0.10 | | 31 | 5.4 | | | SANDY SILT |
| 8.2 | 187 | 271 | | 203 | 223 | | 14.7 | 88 | 53 | 0.13 | 1.7 | 0.7 | | 0.46 | <0.8 | | 0.6 | 16 | MUD |
| 8.4 | 215 | 301 | | 231 | 253 | | 14.7 | 89 | 55 | 0.13 | 2.0 | 0.8 | | 0.54 | 0.99 | | 0.7 | 19 | MUD |
| 8.6 | 240 | 337 | | 255 | 289 | | 14.7 | 90 | 57 | 0.17 | 2.2 | 1.2 | | 0.60 | 1.2 | | 1.1 | 22 | MUD |
| 8.8 | 263 | 353 | | 279 | 305 | | 14.7 | 91 | 59 | 0.12 | 2.4 | 0.9 | | 0.65 | 1.3 | | 1.0 | 25 | MUD |
| 9.0 | 277 | 366 | 208 | 293 | 318 | 225 | 14.7 | 92 | 61 | 0.11 | 2.5 | 0.9 | 0.71 | 0.68 | 1.4 | | 1.0 | 27 | MUD |
| 9.2 | 279 | 366 | | 295 | 318 | | 13.7 | 93 | 63 | 0.10 | 2.5 | 0.8 | | 0.67 | 1.4 | | 0.9 | 27 | MUD AND/OR PEAT |
| 9.4 | 288 | 382 | | 304 | 334 | | 14.7 | 94 | 65 | 0.13 | 2.6 | 1.1 | | 0.68 | 1.5 | | 1.2 | 28 | MUD |
| 9.6 | 300 | 398 | | 315 | 350 | | 15.7 | 95 | 67 | 0.14 | 2.6 | 1.2 | | 0.70 | 1.5 | | 1.4 | 29 | CLAY |
| 9.8 | 310 | 418 | | 325 | 370 | | 15.7 | 96 | 69 | 0.18 | 2.7 | 1.6 | | 0.71 | 1.6 | | 1.8 | 30 | CLAY |
| 10.0 | 315 | 416 | 251 | 330 | 368 | 268 | 15.7 | 97 | 71 | 0.15 | 2.7 | 1.3 | 0.76 | 0.71 | 1.6 | | 1.5 | 31 | CLAY |
| 10.2 | 315 | 409 | | 331 | 361 | | 14.7 | 98 | 73 | 0.12 | 2.6 | 1.1 | | 0.70 | 1.5 | | 1.2 | 30 | MUD |
| 10.4 | 293 | 386 | | 309 | 338 | | 14.7 | 99 | 75 | 0.13 | 2.4 | 1.0 | | 0.64 | 1.3 | | 1.0 | 27 | MUD |
| 10.6 | 314 | 420 | | 329 | 372 | | 15.7 | 100 | 77 | 0.17 | 2.5 | 1.5 | | 0.68 | 1.4 | | 1.6 | 29 | CLAY |
| 10.8 | 310 | 409 | | 325 | 361 | | 15.7 | 101 | 78 | 0.14 | 2.4 | 1.2 | | 0.66 | 1.4 | | 1.3 | 29 | CLAY |
| 11.0 | 342 | 434 | 275 | 358 | 386 | 292 | 14.7 | 102 | 80 | 0.10 | 2.7 | 1.0 | 0.76 | 0.72 | 1.6 | | 1.1 | 33 | MUD |
| 11.2 | 328 | 431 | | 343 | 383 | | 15.7 | 103 | 82 | 0.15 | 2.5 | 1.4 | | 0.68 | 1.4 | | 1.5 | 30 | CLAY |
| 11.4 | 345 | 446 | | 360 | 398 | | 15.7 | 105 | 84 | 0.14 | 2.6 | 1.3 | | 0.70 | 1.5 | | 1.5 | 33 | CLAY |
| 11.6 | 358 | 461 | | 373 | 413 | | 15.7 | 106 | 86 | 0.14 | 2.7 | 1.4 | | 0.72 | 1.6 | | 1.6 | 34 | CLAY |

| Z (m) | A (kPa) | B (kPa) | C (kPa) | Po (kPa) | P1 (kPa) | P2 (kPa) | Gamma (kN/m^3) | Sigma' (kPa) | Uo (kPa) | Id | Kd | Ed (MPa) | Ud | Ko | Ocr | Phi (Deg) | M (MPa) | Cu (kPa) | SDMT 1 DESCRIPTION |
|----------|------------|------------|------------|-------------|-------------|-------------|-------------------|-----------------|-------------|------|-----|-------------|-------|------|-----|--------------|------------|-------------|-----------------------|
| 11.8 | 363 | 467 | | 378 | 419 | | 15.7 | 107 | 88 | 0.14 | 2.7 | 1.4 | | 0.72 | 1.6 | | 1.7 | 34 | CLAY |
| 12.0 | 372 | 487 | 289 | 387 | 439 | 306 | 15.7 | 108 | 90 | 0.18 | 2.7 | 1.8 | 0.73 | 0.73 | 1.6 | | 2.1 | 35 | CLAY |
| 12.2 | 358 | 456 | | 373 | 408 | | 15.7 | 109 | 92 | 0.12 | 2.6 | 1.2 | | 0.69 | 1.5 | | 1.3 | 33 | CLAY |
| 12.4 | 383 | 489 | | 398 | 441 | | 15.7 | 111 | 94 | 0.14 | 2.7 | 1.5 | | 0.73 | 1.6 | | 1.8 | 36 | CLAY |
| 12.6 | 385 | 496 | | 400 | 448 | | 15.7 | 112 | 96 | 0.16 | 2.7 | 1.7 | | 0.72 | 1.6 | | 2.0 | 36 | CLAY |
| 12.8 | 391 | 488 | | 406 | 440 | | 14.7 | 113 | 98 | 0.11 | 2.7 | 1.2 | | 0.72 | 1.6 | | 1.4 | 37 | MUD |
| 13.0 | 408 | 526 | 329 | 422 | 478 | 346 | 15.7 | 114 | 100 | 0.17 | 2.8 | 1.9 | 0.76 | 0.75 | 1.7 | | 2.3 | 39 | CLAY |
| 13.2 | 393 | 515 | | 407 | 467 | | 15.7 | 115 | 102 | 0.20 | 2.7 | 2.1 | | 0.71 | 1.6 | | 2.4 | 36 | CLAY |
| 13.4 | 402 | 530 | | 416 | 482 | | 16.7 | 116 | 104 | 0.21 | 2.7 | 2.3 | | 0.71 | 1.6 | | 2.6 | 37 | CLAY |
| 13.6 | 423 | 531 | | 438 | 483 | | 15.7 | 118 | 106 | 0.14 | 2.8 | 1.6 | | 0.75 | 1.7 | | 1.9 | 40 | CLAY |
| 13.8 | 440 | 558 | | 454 | 510 | | 16.7 | 119 | 108 | 0.16 | 2.9 | 1.9 | | 0.77 | 1.8 | | 2.4 | 42 | CLAY |
| 14.0 | 440 | 563 | 347 | 454 | 515 | 364 | 16.7 | 120 | 110 | 0.18 | 2.9 | 2.1 | 0.74 | 0.75 | 1.8 | | 2.6 | 41 | CLAY |
| 14.2 | 449 | 574 | | 463 | 526 | | 16.7 | 121 | 112 | 0.18 | 2.9 | 2.2 | | 0.76 | 1.8 | | 2.7 | 42 | CLAY |
| 14.4 | 447 | 566 | | 461 | 518 | | 16.7 | 123 | 114 | 0.16 | 2.8 | 2.0 | | 0.75 | 1.7 | | 2.4 | 42 | CLAY |
| 14.6 | 425 | 730 | | 430 | 682 | | 16.7 | 124 | 116 | 0.80 | 2.5 | 8.7 | | 0.68 | 1.4 | | 9.7 | 37 | SILT |
| 14.8 | 446 | 580 | | 460 | 532 | | 16.7 | 126 | 118 | 0.21 | 2.7 | 2.5 | | 0.72 | 1.6 | | 2.9 | 41 | CLAY |
| 15.0 | 445 | 593 | 321 | 458 | 545 | 338 | 16.7 | 127 | 120 | 0.26 | 2.7 | 3.0 | 0.65 | 0.71 | 1.6 | | 3.5 | 40 | CLAY |
| 15.2 | 466 | 593 | | 480 | 545 | | 16.7 | 128 | 122 | 0.18 | 2.8 | 2.3 | | 0.74 | 1.7 | | 2.7 | 43 | CLAY |
| 15.4 | 468 | 596 | | 482 | 548 | | 16.7 | 130 | 124 | 0.18 | 2.8 | 2.3 | | 0.73 | 1.7 | | 2.7 | 43 | CLAY |
| 15.6 | 468 | 616 | | 481 | 568 | | 16.7 | 131 | 126 | 0.25 | 2.7 | 3.0 | | 0.72 | 1.6 | | 3.5 | 42 | CLAY |
| 15.8 | 478 | 594 | | 492 | 546 | | 16.7 | 132 | 128 | 0.15 | 2.8 | 1.9 | | 0.73 | 1.7 | | 2.2 | 43 | CLAY |
| 16.0 | 480 | 603 | 398 | 494 | 555 | 415 | 16.7 | 134 | 129 | 0.17 | 2.7 | 2.1 | 0.78 | 0.72 | 1.6 | | 2.5 | 43 | CLAY |
| 16.2 | 503 | 859 | | 505 | 811 | | 17.7 | 135 | 131 | 0.82 | 2.8 | 10.6 | | 0.73 | 1.7 | | 12.7 | 45 | SILT |
| 16.4 | 486 | 674 | | 497 | 626 | | 16.7 | 137 | 133 | 0.36 | 2.7 | 4.5 | | 0.71 | 1.6 | | 5.1 | 43 | SILTY CLAY |
| 16.6 | 420 | 648 | | 429 | 600 | | 16.7 | 138 | 135 | 0.58 | 2.1 | 5.9 | | 0.58 | 1.1 | | 5.4 | 33 | SILTY CLAY |
| 16.8 | 374 | 962 | | 365 | 914 | | 18.6 | 140 | 137 | 2.41 | 1.6 | 19.1 | | | | 31 | 16.3 | SILTY SAND | |
| 17.0 | 281 | 695 | 98 | 281 | 647 | 115 | 17.7 | 141 | 139 | 2.59 | 1.0 | 12.7 | -0.17 | | | 28 | 10.8 | SILTY SAND | |
| 17.2 | 599 | 1176 | | 590 | 1128 | | 17.7 | 143 | 141 | 1.20 | 3.1 | 18.7 | | 0.81 | 2.0 | | 25.3 | 55 | SILT |
| 17.4 | 250 | 488 | | 258 | 440 | | 15.7 | 144 | 143 | 1.58 | 0.8 | 6.3 | | | | 27 | 5.4 | SANDY SILT | |
| 17.6 | 271 | 637 | | 273 | 589 | | 17.7 | 146 | 145 | 2.47 | 0.9 | 11.0 | | | | 27 | 9.3 | SILTY SAND | |
| 17.8 | 434 | 1066 | | 423 | 1018 | | 18.6 | 147 | 147 | 2.16 | 1.9 | 20.7 | | | | 32 | 19.7 | SILTY SAND | |
| 18.0 | 418 | 860 | 109 | 416 | 812 | 126 | 17.7 | 149 | 149 | 1.48 | 1.8 | 13.7 | -0.09 | | | 32 | 11.7 | SANDY SILT | |
| 18.2 | 500 | 1071 | | 492 | 1023 | | 17.7 | 151 | 151 | 1.56 | 2.3 | 18.4 | | | | 33 | 19.7 | SANDY SILT | |
| 18.4 | 703 | 967 | | 710 | 919 | | 17.7 | 152 | 153 | 0.38 | 3.7 | 7.3 | | 0.92 | 2.6 | | 10.7 | 71 | SILTY CLAY |
| 18.6 | 723 | 1079 | | 725 | 1031 | | 17.7 | 154 | 155 | 0.54 | 3.7 | 10.6 | | 0.93 | 2.6 | | 15.7 | 73 | SILTY CLAY |
| 18.8 | 579 | 1208 | | 568 | 1160 | | 17.7 | 155 | 157 | 1.44 | 2.6 | 20.5 | | | | 34 | 24.9 | SANDY SILT | |
| 19.0 | 637 | 1237 | 85 | 627 | 1189 | 102 | 17.7 | 157 | 159 | 1.20 | 3.0 | 19.5 | -0.12 | 0.78 | 1.9 | | 25.5 | 57 | SILT |
| 19.2 | 678 | 1742 | | 645 | 1694 | | 19.6 | 158 | 161 | 2.17 | 3.1 | 36.4 | | | | 35 | 51.2 | SILTY SAND | |

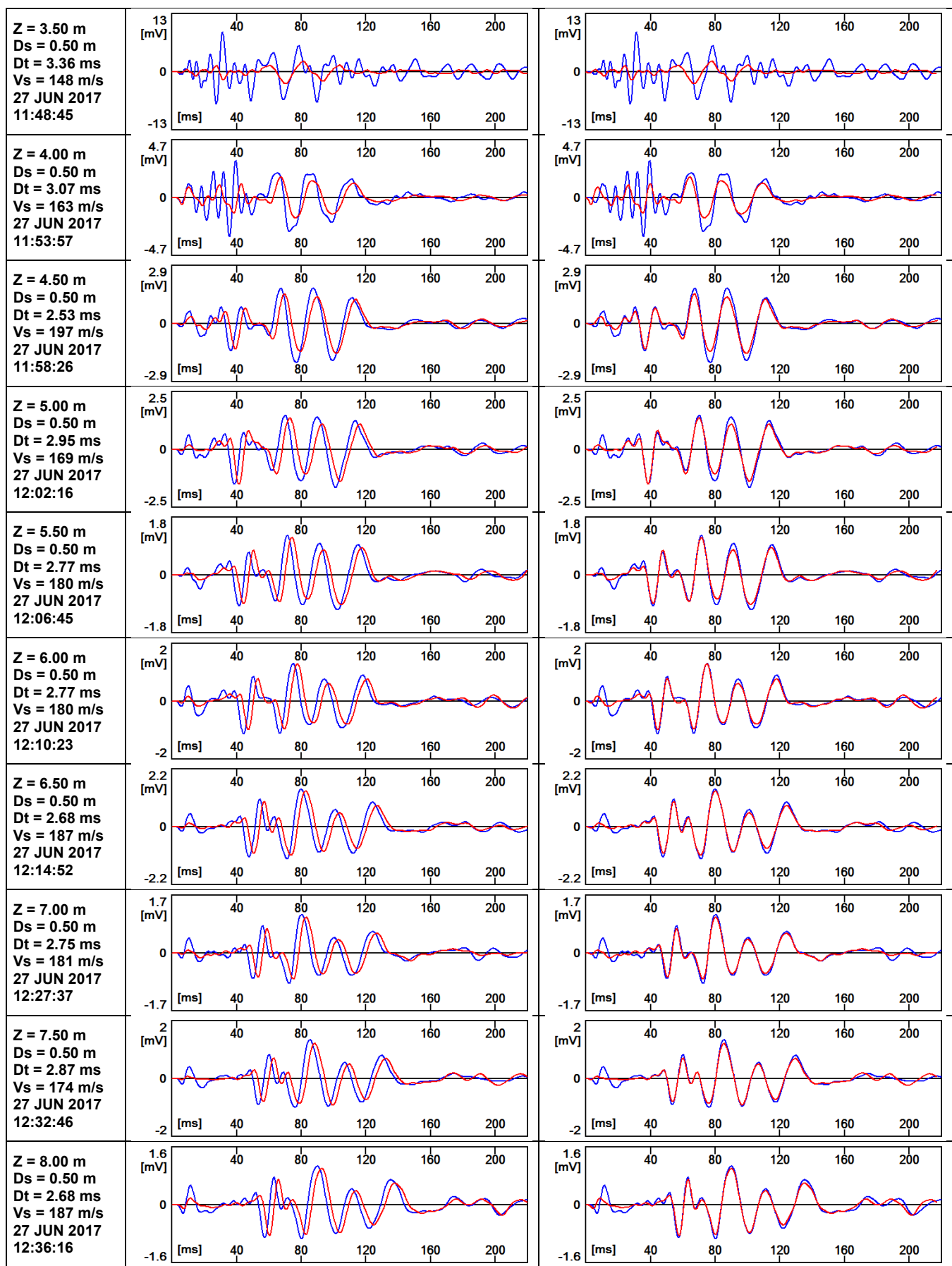
SDMT 1 - Tabular data: Vs, Go, Vs Repeatability

Each Vs value in the 'Vs Repeatability' column corresponds to a distinct energization.

| Z | Vs | Go | Rho | Vs Repeatability | Var Coeff. |
|-------|-------|-------|----------|---------------------|------------|
| [m] | [m/s] | [MPa] | [kg/m^3] | [m/s] | [%] |
| 3.50 | 144 | 35.3 | 1700 | 148,141 | 2.46 |
| 4.00 | 160 | 46.1 | 1800 | 163,157 | 1.88 |
| 4.50 | 203 | 74.2 | 1800 | 197,196,216 | 4.53 |
| 5.00 | 170 | 46.2 | 1600 | 169,170,170,170 | 0.29 |
| 5.50 | 181 | 49.1 | 1500 | 180,181,183 | 0.71 |
| 6.00 | 180 | 48.6 | 1500 | 180,182,177 | 1.16 |
| 6.50 | 187 | 54.2 | 1550 | 187,188,186 | 0.44 |
| 7.00 | 183 | 53.6 | 1600 | 181,180,189 | 2.21 |
| 7.50 | 179 | 51.3 | 1600 | 174,184 | 2.79 |
| 8.00 | 188 | 56.6 | 1600 | 187,189,189 | 0.53 |
| 8.50 | 182 | 49.7 | 1500 | 181,183,182 | 0.45 |
| 9.00 | 183 | 50.2 | 1500 | 180,181,187 | 1.70 |
| 9.50 | 186 | 53.6 | 1550 | 192,178,189 | 3.24 |
| 10.00 | 194 | 60.2 | 1600 | 194,193,194 | 0.30 |
| 10.50 | 197 | 60.2 | 1550 | 198,198,196 | 0.51 |
| 11.00 | 197 | 58.2 | 1500 | 197,196,198 | 0.41 |
| 11.50 | 204 | 66.6 | 1600 | 202,204,205 | 0.63 |
| 12.00 | 199 | 63.4 | 1600 | 198,200,202,198,197 | 0.90 |
| 12.50 | 203 | 65.9 | 1600 | 203,203,203 | 0.00 |
| 13.00 | 190 | 57.8 | 1600 | 190,192,188 | 0.86 |
| 13.50 | 200 | 66.0 | 1650 | 203,197,201 | 1.26 |
| 14.00 | 240 | 97.9 | 1700 | 242,243,236 | 1.30 |
| 14.50 | 171 | 49.7 | 1700 | 167,175,170 | 1.94 |
| 15.00 | 194 | 64.0 | 1700 | 195,194,195,194 | 0.36 |
| 15.50 | 326 | 181 | 1700 | 316,323,345,322 | 3.38 |
| 16.00 | 304 | 157 | 1700 | 309,307,297 | 1.73 |
| 16.50 | 126 | 27.0 | 1700 | 128,120,128,129 | 2.89 |
| 17.00 | 272 | 133 | 1800 | 279,275,263 | 2.50 |
| 17.50 | 465 | 368 | 1700 | 465,457,457,482 | 2.20 |
| 18.00 | 450 | 365 | 1800 | 456,462,443,437 | 2.22 |
| 18.50 | 373 | 250 | 1800 | 325,379,415 | 9.92 |

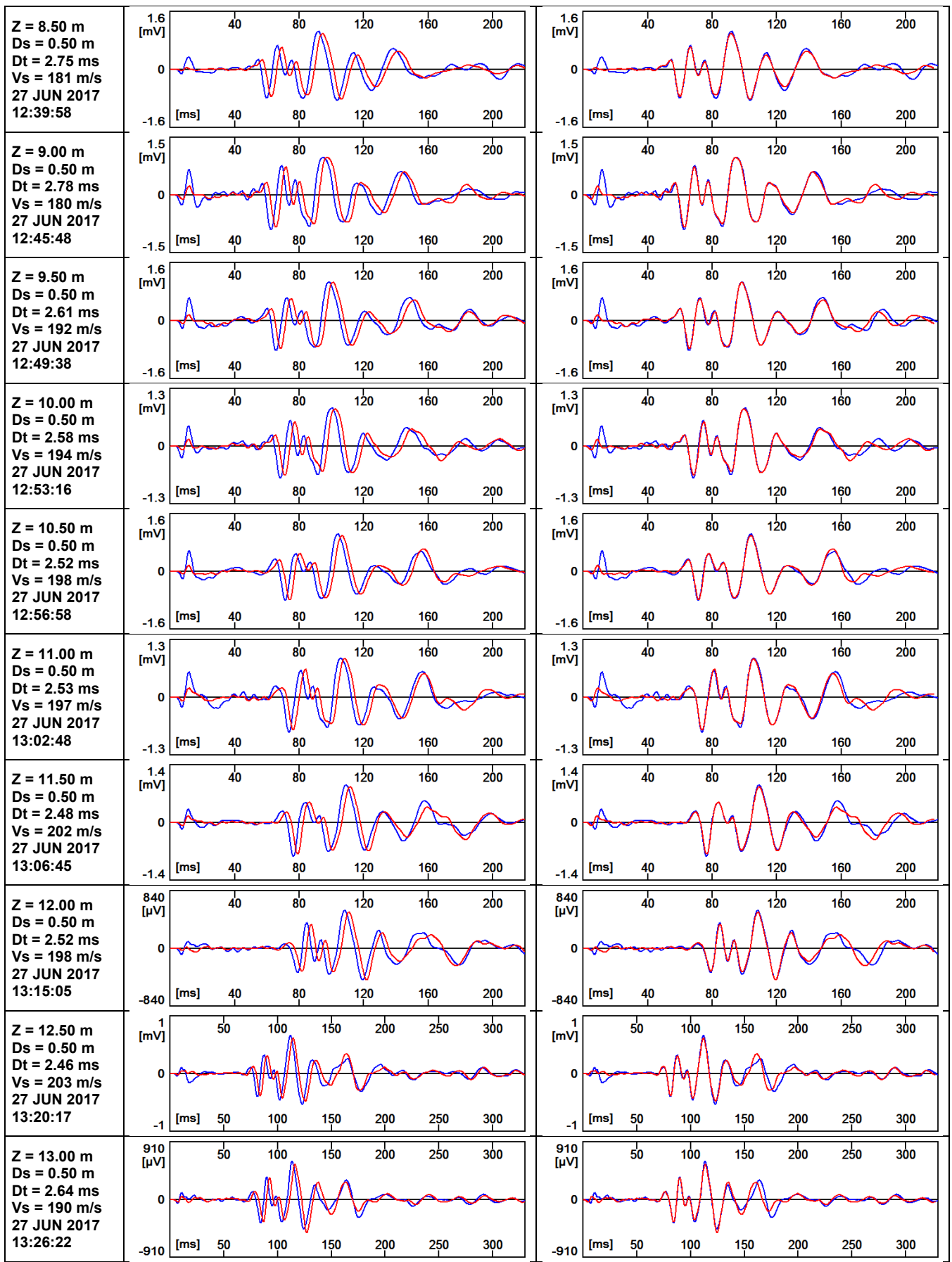
RECORDED

RE-PHASED



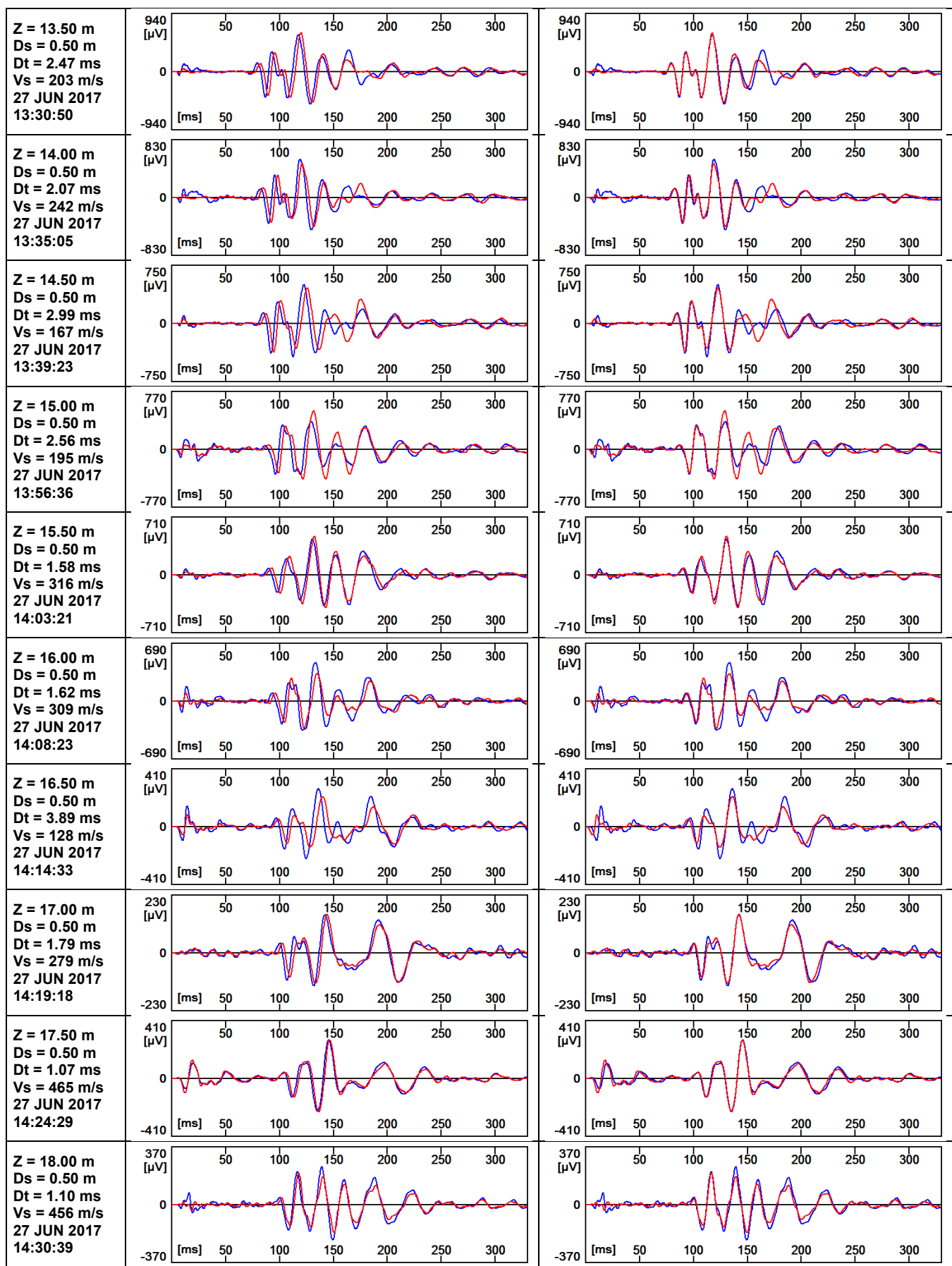
RECORDED

RE-PHASED



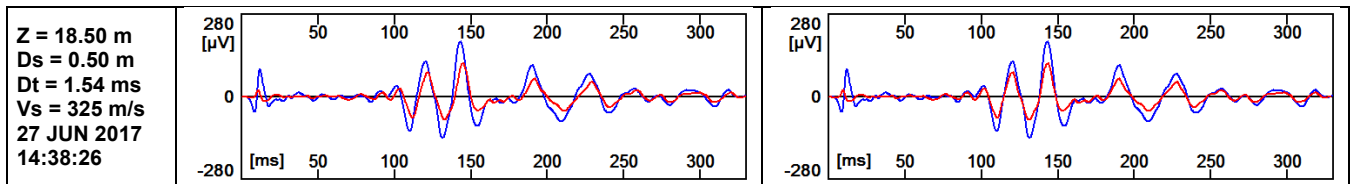
RECORDED

RE-PHASED



RECORDED

RE-PHASED



| Objekt: PRIZIDEK K VRTCU IN OSNOVNI ŠOLI GALJEVICA, LJUBLJANA | | Vrtina: V-3 Merilo: 1:100 | Karta: x: 463420.5618 y: 98989.3368 | List: 1 z: 290.67 | | | |
|---|----------------|--------------------------------|---|--|--|--|---------------------------|
| Izvajalec: SLP d.o.o. LJUBLJANA | | Izvajalec vrtanja: ROVS d.o.o. | Oznaka: Geotehnična preiskava tal | | | | |
| Naročnik Mestna občina Ljubljana, Mestni trg 1 42 | | Datum sondiranja: 2. 9. 2011 | Globina: 18,0 m | | | | |
| GLOBOINA | PROFIL VRTANJA | KLASIFIKACIJA | | REZULTATI RAZISKAV | | | |
| | | GEOLOŠKI PROFIL | AC | LITOLOŠKI ZAPIS | ✓ Z □ R E C | SPT/N (nekorrigirano) | qu_ročni (kPa) |
| 0.15 | | NASIP | Humus | | | | Voda po razceviti na 1.3m |
| 2.5 | | | Nasip, tamponski drobljenec od 0 – 24mm | | | | |
| 2.6 | | Pt – OH | Šota in močno zameljen pesek | | 100 | | |
| 6.6 | | SU/SM | Droben pesek in močno zameljen pesek, sive barve moker | | | | |
| 10 | | SU/SM | Meljast pesek in meljasta glina lahko gnetne konsistence, sive barve s tankimi sloji drobnega zameljenega peska | | 50 20 – 30 20 – 35 10 35 – 40 10 – 20 | $\gamma = 19; w/w = 29/32$ $\phi = 32; c = 22$ $Mv (50,75) = 767/2449$ | |
| 14.3 | | MH/CH MI/CI | Meljna glina in melj, židke do lahko gnetne konsistence, sive barve | | 5 5 5 5 5 5 5 10 – 15 | | |
| 14.7 | | SU/SM | Droben, rahlo zameljen pesek, svetlo rjave in sive barve | | 380 – 400 300 – 340 | Voda med vrtanjem na 15m | |
| | | 48 | Preperina permokarbonskega skrilavca, temno sive in sivo zelene barve | | | | |
| 16.0 | | | Kompakten permokarbonski skrilavec, črne barve | | 9cm/60ud 7cm/60ud | | |
| 18 | | | | | | | |
| Nivo podtalnice: | | Datum: nivo vode: | | Obdelal: Danijel ZAKONJŠEK u.d.i.r. | Pregledal: Ivan LESJAK,u.d.i.g. | List: 1 Priloga: | |

St. testa : KRIM1

Gradbisce : GALJEVICA

Konus : Y1

Naročnik : GO-LJ.

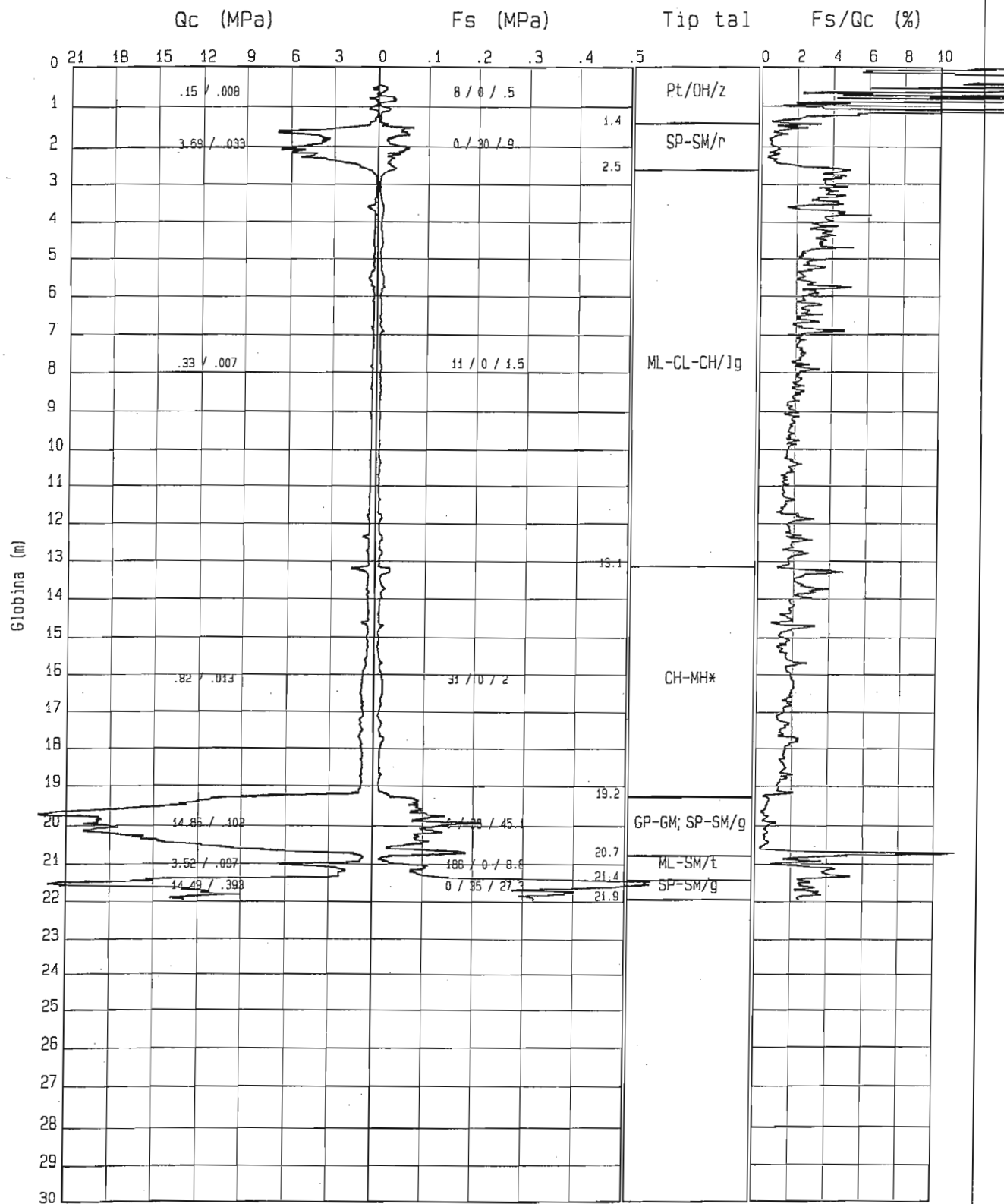
Lokacija : PRIZIDEK

Datum : 7.9.89

Izvajalec: SLP Lj

Nadm.visina :

M_gl. : 1 : 150



Qc ... odpor konusa (max= 23.9)

Meril : R.Trkov gr.t.

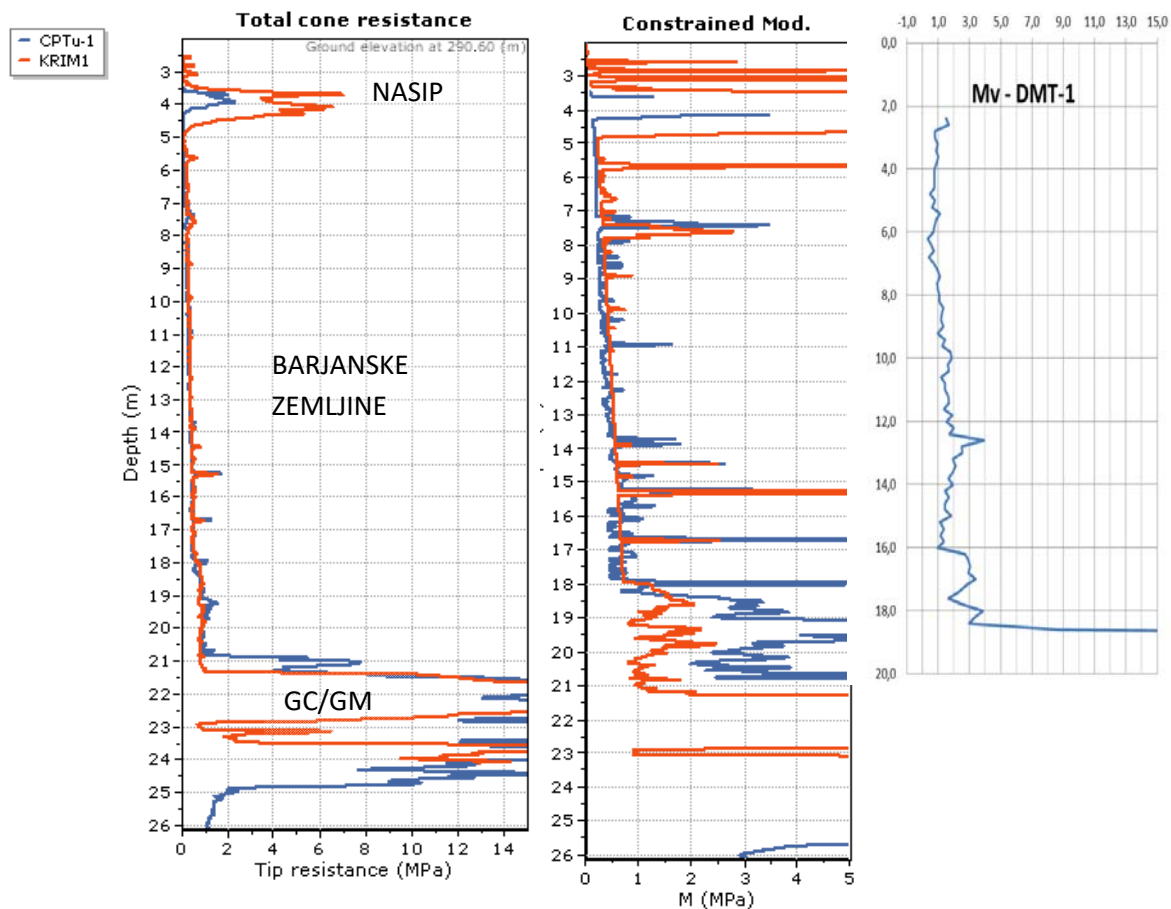
Fs ... trenje na plascu

Obdelal: G.Strnisa d.g.i.

U ... porni tlaki

Pregledal: I.Lesjak d.g.i.

Priloga



PRILOGA 3

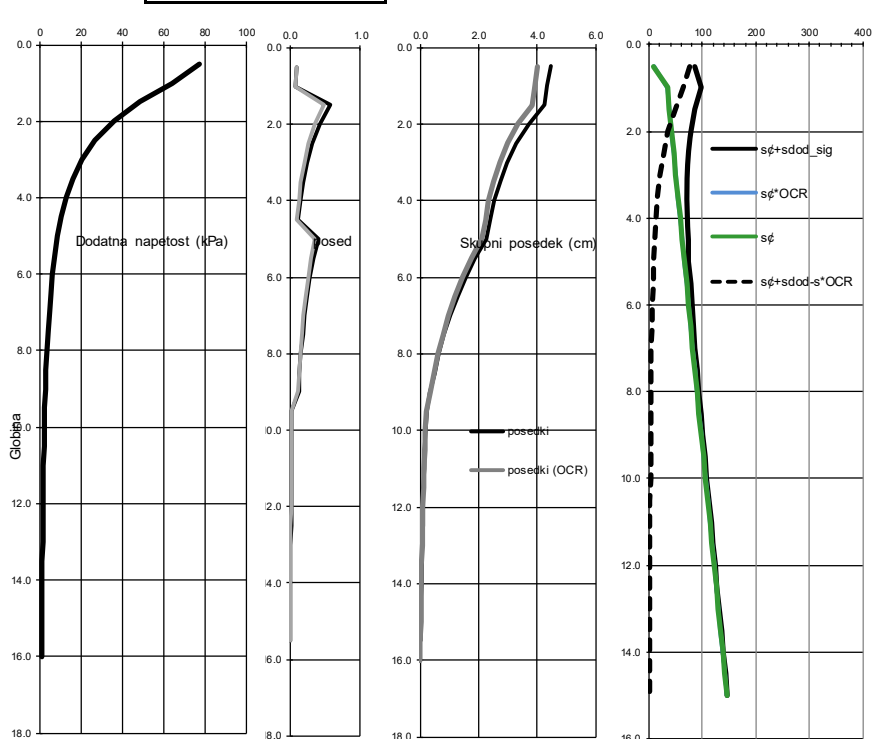
IZRAČUNI

Posedki točkovnega temelja hale (80 kPa, 150 kPa)

OŠ Galjevica

| | | TOČKOVNI | | | |
|---------|--------|----------|----------|-------------------------|-----|
| B= | 2.5 m | F= | 0.50 MN | 200.0 KN/m ² | |
| L= | 2.5 m | Pos= | 4.5 cm | 3.3 cm => % h(nas) | |
| delH= | 0.50 m | Q | 80.0 kPa | 4.0 m nasipa | |
| Hmax= | 26.0 m | Qkon | 0 kPa | 0.44% | |
| Dod.nap | Glob | integ | Eod | Pos | OCR |

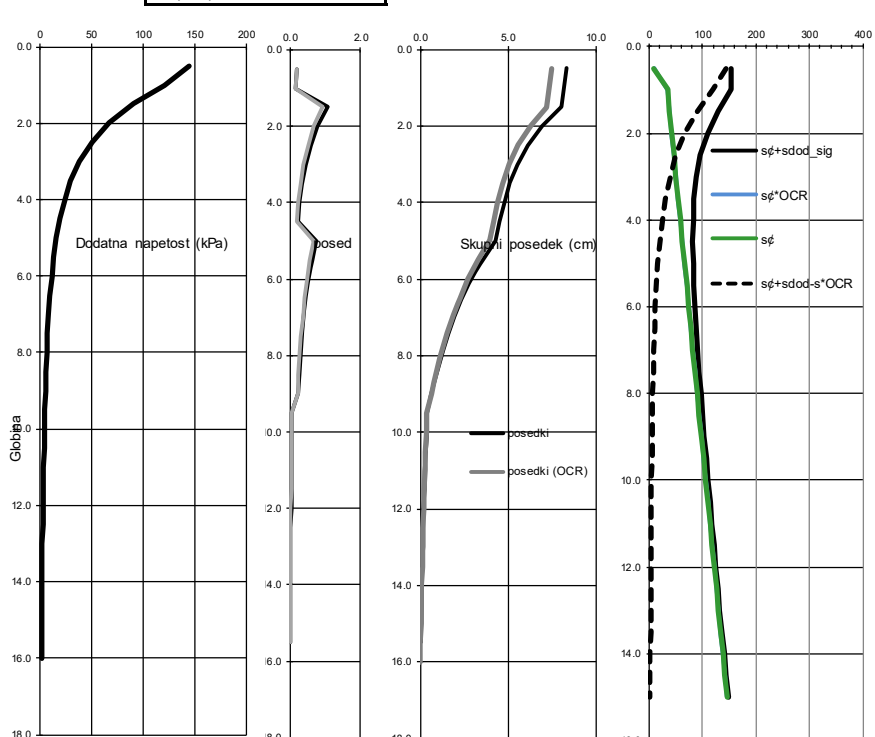
| | kPa | m | kPam | cm | cm | |
|----|------|----|------|-------|------|-----|
| 77 | 0.5 | 39 | 40.0 | 0.098 | 4.46 | 1.0 |
| 64 | 1.0 | 35 | 40.0 | 0.088 | 4.37 | 1.0 |
| 49 | 1.5 | 28 | 5.0 | 0.564 | 4.28 | 1.0 |
| 36 | 2.0 | 21 | 5.0 | 0.423 | 3.71 | 1.0 |
| 27 | 2.5 | 16 | 5.0 | 0.315 | 3.29 | 1.0 |
| 21 | 3.0 | 12 | 5.0 | 0.238 | 2.98 | 1.0 |
| 16 | 3.5 | 9 | 5.0 | 0.183 | 2.74 | 1.0 |
| 13 | 4.0 | 7 | 5.0 | 0.145 | 2.56 | 1.0 |
| 10 | 4.5 | 6 | 5.0 | 0.117 | 2.41 | 1.0 |
| 9 | 5.0 | 5 | 1.2 | 0.399 | 2.29 | 1.0 |
| 7 | 5.5 | 4 | 1.2 | 0.332 | 1.90 | 1.0 |
| 6 | 6.0 | 3 | 1.2 | 0.281 | 1.56 | 1.0 |
| 5 | 6.5 | 3 | 1.2 | 0.240 | 1.28 | 1.0 |
| 5 | 7.0 | 2 | 1.2 | 0.208 | 1.04 | 1.0 |
| 4 | 7.5 | 2 | 1.2 | 0.181 | 0.83 | 1.0 |
| 4 | 8.0 | 2 | 1.2 | 0.160 | 0.65 | 1.0 |
| 3 | 8.5 | 2 | 1.2 | 0.141 | 0.49 | 1.0 |
| 3 | 9.0 | 2 | 1.2 | 0.126 | 0.35 | 1.0 |
| 3 | 9.5 | 1 | 5.0 | 0.027 | 0.23 | 1.0 |
| 2 | 10.0 | 1 | 5.0 | 0.025 | 0.20 | 1.0 |
| 2 | 10.5 | 1 | 5.0 | 0.022 | 0.17 | 1.0 |
| 2 | 11.0 | 1 | 5.0 | 0.020 | 0.15 | 1.0 |
| 2 | 11.5 | 1 | 5.0 | 0.019 | 0.13 | 1.0 |
| 2 | 12.0 | 1 | 5.0 | 0.017 | 0.11 | 1.0 |
| 2 | 12.5 | 1 | 5.0 | 0.016 | 0.10 | 1.0 |
| 1 | 13.0 | 1 | 5.0 | 0.015 | 0.08 | 1.0 |
| 1 | 13.5 | 1 | 5.0 | 0.013 | 0.07 | 1.0 |
| 1 | 14.0 | 1 | 5.0 | 0.012 | 0.05 | 1.0 |
| 1 | 14.5 | 1 | 5.0 | 0.012 | 0.04 | 1.0 |
| 1 | 15.0 | 1 | 5.0 | 0.011 | 0.03 | 1.0 |
| 1 | 15.5 | 1 | 40.0 | 0.001 | 0.02 | 1.0 |
| 1 | 16.0 | 0 | 40.0 | 0.001 | 0.02 | 1.0 |
| 1 | 16.5 | 0 | 40.0 | 0.001 | 0.01 | 1.0 |



OŠ Galjevica

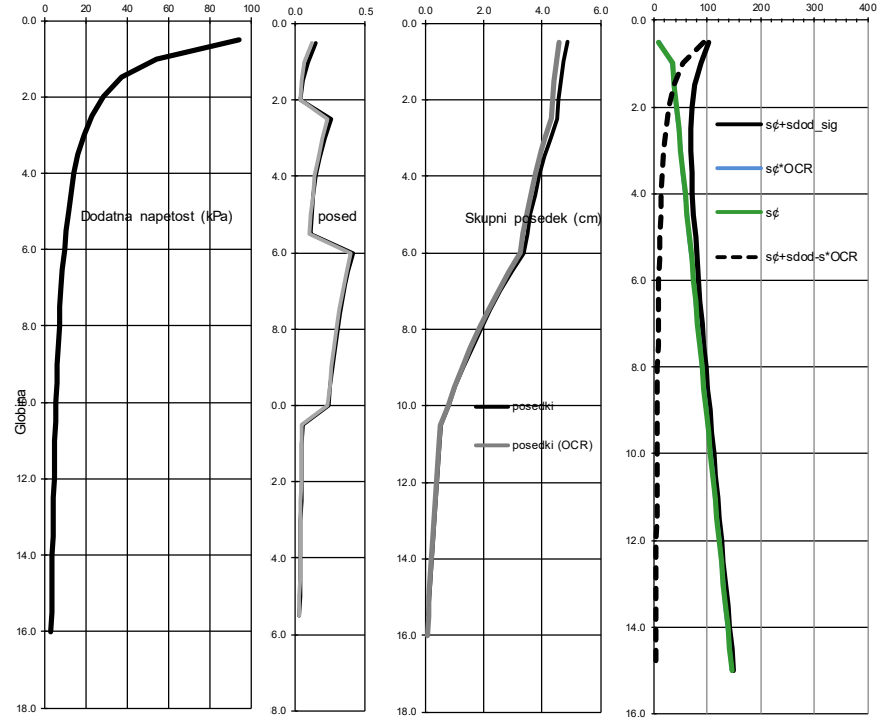
| | | TOČKOVNI | | | |
|---------|--------|----------|-----------|-------------------------|-----|
| B= | 2.5 m | F= | 0.94 MN | 375.0 KN/m ² | |
| L= | 2.5 m | Pos= | 8.4 cm | 6.3 cm => % h(nas) | |
| delH= | 0.50 m | Q | 150.0 kPa | 7.5 m nasipa | |
| Hmax= | 26.0 m | Qkon | 1 kPa | 0.44% | |
| Dod.nap | Glob | integ | Eod | Pos | OCR |

| | | kPa | m | kPam | cm | cm | |
|-----|------|-----|------|-------|------|-----|--|
| 144 | 0.5 | 74 | 40.0 | 0.184 | 8.37 | 1.0 | |
| 120 | 1.0 | 66 | 40.0 | 0.165 | 8.19 | 1.0 | |
| 91 | 1.5 | 53 | 5.0 | 1.057 | 8.02 | 1.0 | |
| 68 | 2.0 | 40 | 5.0 | 0.794 | 6.96 | 1.0 | |
| 51 | 2.5 | 30 | 5.0 | 0.590 | 6.17 | 1.0 | |
| 39 | 3.0 | 22 | 5.0 | 0.446 | 5.58 | 1.0 | |
| 30 | 3.5 | 17 | 5.0 | 0.344 | 5.13 | 1.0 | |
| 24 | 4.0 | 14 | 5.0 | 0.271 | 4.79 | 1.0 | |
| 20 | 4.5 | 11 | 5.0 | 0.219 | 4.52 | 1.0 | |
| 16 | 5.0 | 9 | 1.2 | 0.747 | 4.30 | 1.0 | |
| 14 | 5.5 | 7 | 1.2 | 0.623 | 3.55 | 1.0 | |
| 12 | 6.0 | 6 | 1.2 | 0.527 | 2.93 | 1.0 | |
| 10 | 6.5 | 5 | 1.2 | 0.451 | 2.40 | 1.0 | |
| 9 | 7.0 | 5 | 1.2 | 0.390 | 1.95 | 1.0 | |
| 8 | 7.5 | 4 | 1.2 | 0.340 | 1.56 | 1.0 | |
| 7 | 8.0 | 4 | 1.2 | 0.299 | 1.22 | 1.0 | |
| 6 | 8.5 | 3 | 1.2 | 0.265 | 0.92 | 1.0 | |
| 5 | 9.0 | 3 | 1.2 | 0.237 | 0.66 | 1.0 | |
| 5 | 9.5 | 3 | 5.0 | 0.051 | 0.42 | 1.0 | |
| 4 | 10.0 | 2 | 5.0 | 0.046 | 0.37 | 1.0 | |
| 4 | 10.5 | 2 | 5.0 | 0.042 | 0.33 | 1.0 | |
| 4 | 11.0 | 2 | 5.0 | 0.038 | 0.28 | 1.0 | |
| 3 | 11.5 | 2 | 5.0 | 0.035 | 0.25 | 1.0 | |
| 3 | 12.0 | 2 | 5.0 | 0.032 | 0.21 | 1.0 | |
| 3 | 12.5 | 1 | 5.0 | 0.029 | 0.18 | 1.0 | |
| 3 | 13.0 | 1 | 5.0 | 0.027 | 0.15 | 1.0 | |
| 2 | 13.5 | 1 | 5.0 | 0.025 | 0.12 | 1.0 | |
| 2 | 14.0 | 1 | 5.0 | 0.023 | 0.10 | 1.0 | |
| 2 | 14.5 | 1 | 5.0 | 0.022 | 0.07 | 1.0 | |
| 2 | 15.0 | 1 | 5.0 | 0.020 | 0.05 | 1.0 | |
| 2 | 15.5 | 1 | 40.0 | 0.002 | 0.03 | 1.0 | |
| 2 | 16.0 | 1 | 40.0 | 0.002 | 0.03 | 1.0 | |
| 2 | 16.5 | 1 | 40.0 | 0.002 | 0.03 | 1.0 | |
| 2 | 17.0 | 1 | 40.0 | 0.002 | 0.02 | 1.0 | |



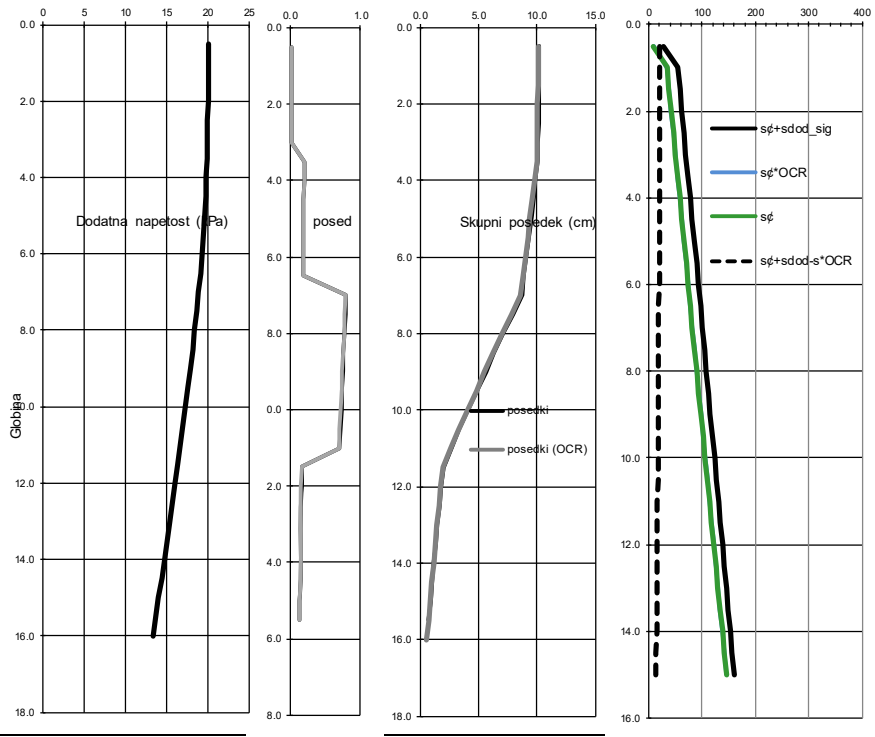
Pasovni temelji obremenjeni z 150 kPa

| OŠ Galjevica PASOVNI | | | | | | |
|----------------------|-----------------|--------------------|-------|---------|------|-----|
| B= 0.6 m | F= 2.97 MN | 90.0 KN/m' | | | | |
| L= 33.0 m | Pos= 4.9 cm | 3.7 cm => % h(nas) | 0.65% | - 0.49% | | |
| delH= 0.50 m | Q = 150.0 kPa = | 7.5 m nasipa | | | | |
| Hmax= 26.0 m | Qkon | 2 kPa | 1.07% | | | |
| Ded.nap | Glob | integ | Eod | Pos-sl | Pos | OCR |
| kPa | m | kPam | cm | cm | | |
| 94 | 0.5 | 61 | 40.0 | 0.152 | 4.89 | 1.0 |
| 54 | 1.0 | 37 | 40.0 | 0.093 | 4.73 | 1.0 |
| 37 | 1.5 | 23 | 40.0 | 0.057 | 4.64 | 1.0 |
| 28 | 2.0 | 16 | 40.0 | 0.041 | 4.59 | 1.0 |
| 23 | 2.5 | 13 | 5.0 | 0.255 | 4.54 | 1.0 |
| 19 | 3.0 | 10 | 5.0 | 0.209 | 4.29 | 1.0 |
| 16 | 3.5 | 9 | 5.0 | 0.177 | 4.08 | 1.0 |
| 14 | 4.0 | 8 | 5.0 | 0.153 | 3.90 | 1.0 |
| 13 | 4.5 | 7 | 5.0 | 0.135 | 3.75 | 1.0 |
| 11 | 5.0 | 6 | 5.0 | 0.121 | 3.62 | 1.0 |
| 10 | 5.5 | 5 | 5.0 | 0.109 | 3.49 | 1.0 |
| 10 | 6.0 | 5 | 1.2 | 0.414 | 3.39 | 1.0 |
| 9 | 6.5 | 5 | 1.2 | 0.381 | 2.97 | 1.0 |
| 8 | 7.0 | 4 | 1.2 | 0.352 | 2.59 | 1.0 |
| 8 | 7.5 | 4 | 1.2 | 0.327 | 2.24 | 1.0 |
| 7 | 8.0 | 4 | 1.2 | 0.305 | 1.91 | 1.0 |
| 7 | 8.5 | 3 | 1.2 | 0.285 | 1.61 | 1.0 |
| 6 | 9.0 | 3 | 1.2 | 0.268 | 1.32 | 1.0 |
| 6 | 9.5 | 3 | 1.2 | 0.253 | 1.05 | 1.0 |
| 6 | 10.0 | 3 | 1.2 | 0.239 | 0.80 | 1.0 |
| 5 | 10.5 | 3 | 5.0 | 0.054 | 0.56 | 1.0 |
| 5 | 11.0 | 3 | 5.0 | 0.051 | 0.51 | 1.0 |
| 5 | 11.5 | 2 | 5.0 | 0.049 | 0.46 | 1.0 |
| 5 | 12.0 | 2 | 5.0 | 0.047 | 0.41 | 1.0 |
| 4 | 12.5 | 2 | 5.0 | 0.044 | 0.36 | 1.0 |
| 4 | 13.0 | 2 | 5.0 | 0.042 | 0.32 | 1.0 |
| 4 | 13.5 | 2 | 5.0 | 0.040 | 0.28 | 1.0 |
| 4 | 14.0 | 2 | 5.0 | 0.039 | 0.23 | 1.0 |
| 4 | 14.5 | 2 | 5.0 | 0.037 | 0.20 | 1.0 |
| 3 | 15.0 | 2 | 5.0 | 0.035 | 0.16 | 1.0 |
| 3 | 15.5 | 2 | 5.0 | 0.034 | 0.12 | 1.0 |
| 3 | 16.0 | 2 | 5.0 | 0.033 | 0.09 | 1.0 |
| 3 | 16.5 | 2 | 40.0 | 0.004 | 0.06 | 1.0 |



Plošča ali nasip obremenitev 20 kPa

| OŠ Galjevica plošča, nasip | | | | | | |
|----------------------------|----------------|--------------------|--------|---------|-------|-----|
| B= 30.0 m | F= 18.00 MN | 600.0 KN/m' | | | | |
| L= 30.0 m | Pos= 10.3 cm | 7.7 cm => % h(nas) | 10.26% | - 7.69% | | |
| delH= 0.50 m | Q = 20.0 kPa = | 1.0 m nasipa | | | | |
| Hmax= 26.0 m | Qkon | 8 kPa | 40.80% | | | |
| Ded.nap | Glob | integ | Eod | Pos-sl | Pos | OCR |
| kPa | m | kPam | cm | cm | | |
| 20 | 0.5 | 10 | 40.0 | 0.025 | 10.26 | 1.0 |
| 20 | 1.0 | 10 | 40.0 | 0.025 | 10.23 | 1.0 |
| 20 | 1.5 | 10 | 40.0 | 0.025 | 10.21 | 1.0 |
| 20 | 2.0 | 10 | 40.0 | 0.025 | 10.18 | 1.0 |
| 20 | 2.5 | 10 | 40.0 | 0.025 | 10.15 | 1.0 |
| 20 | 3.0 | 10 | 40.0 | 0.025 | 10.13 | 1.0 |
| 20 | 3.5 | 10 | 5.0 | 0.199 | 10.10 | 1.0 |
| 20 | 4.0 | 10 | 5.0 | 0.198 | 9.91 | 1.0 |
| 20 | 4.5 | 10 | 5.0 | 0.197 | 9.71 | 1.0 |
| 20 | 5.0 | 10 | 5.0 | 0.196 | 9.51 | 1.0 |
| 19 | 5.5 | 10 | 5.0 | 0.195 | 9.31 | 1.0 |
| 19 | 6.0 | 10 | 5.0 | 0.193 | 9.12 | 1.0 |
| 19 | 6.5 | 10 | 5.0 | 0.192 | 8.93 | 1.0 |
| 19 | 7.0 | 9 | 1.2 | 0.790 | 8.73 | 1.0 |
| 19 | 7.5 | 9 | 1.2 | 0.781 | 7.94 | 1.0 |
| 18 | 8.0 | 9 | 1.2 | 0.772 | 7.16 | 1.0 |
| 18 | 8.5 | 9 | 1.2 | 0.761 | 6.39 | 1.0 |
| 18 | 9.0 | 9 | 1.2 | 0.750 | 5.63 | 1.0 |
| 18 | 9.5 | 9 | 1.2 | 0.739 | 4.88 | 1.0 |
| 17 | 10.0 | 9 | 1.2 | 0.727 | 4.14 | 1.0 |
| 17 | 10.5 | 9 | 1.2 | 0.714 | 3.41 | 1.0 |
| 17 | 11.0 | 8 | 1.2 | 0.701 | 2.70 | 1.0 |
| 16 | 11.5 | 8 | 5.0 | 0.165 | 2.00 | 1.0 |
| 16 | 12.0 | 8 | 5.0 | 0.162 | 1.83 | 1.0 |
| 16 | 12.5 | 8 | 5.0 | 0.159 | 1.67 | 1.0 |
| 15 | 13.0 | 8 | 5.0 | 0.155 | 1.51 | 1.0 |
| 15 | 13.5 | 8 | 5.0 | 0.152 | 1.36 | 1.0 |
| 15 | 14.0 | 7 | 5.0 | 0.149 | 1.20 | 1.0 |
| 14 | 14.5 | 7 | 5.0 | 0.145 | 1.06 | 1.0 |
| 14 | 15.0 | 7 | 5.0 | 0.142 | 0.91 | 1.0 |
| 14 | 15.5 | 7 | 5.0 | 0.139 | 0.77 | 1.0 |
| 13 | 16.0 | 7 | 5.0 | 0.136 | 0.63 | 1.0 |
| 13 | 16.5 | 7 | 5.0 | 0.132 | 0.49 | 1.0 |



Pasovni temelj v nasipu

Določitev dopustne obremenitve plitvega temelja

Temelj:

| | |
|----------|--------|
| B = | 1.0 m |
| L = | 11.0 m |
| D-glob = | 0.80 m |

1,809 kN
20
γ' = 21 kN/m³

Zemljinja:

| | |
|-----|-----------------------|
| γ = | 8.0 kN/m ³ |
| ϕ = | 32 |
| c = | 0 kPa |

| | |
|------|----------|
| ϕ' = | 23 |
| c' = | 0.00 kPa |

Mobilizacija:

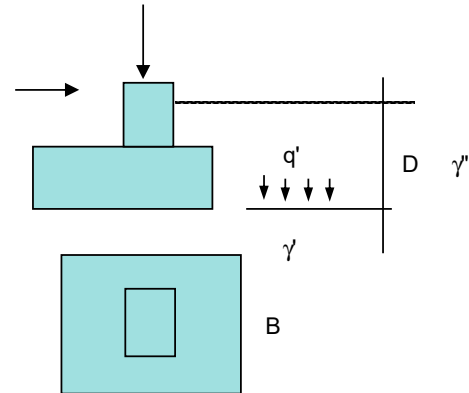
| | | |
|------------------|-----|-------------|
| F _c = | 2.0 | (2.0 - 2.5) |
| F _ϕ = | 1.5 | (1.5) |

Efektivna nap. na dnu temelja:

| | |
|------|-----------|
| q' = | 16.80 kPa |
|------|-----------|

Koeficienti nosilnosti:

| | | |
|------------------------------------|-------|--|
| N _q (f _i) = | 8.33 | Canadian FEM 1985 Vesic (1975), Caquot&Kerisel 1953, EUROCODE DIN 4017 |
| N _c (f _i) = | 17.59 | |
| N _γ (f _i) = | 4.58 | |
| N _γ (f _i) = | 7.77 | |
| N _γ (f _i) = | 6.10 | |



Dopustna obremenitev:

$$qdop = c' * Nc + q' * Nq + 0.5 * B * \gamma' * N\gamma$$

$$qdop (\text{DIN}) = 0 * 17.58 + 16.8 * 8.32 + 0.5 * 1 * 8 * 6.1$$

$$c' * Nc = 0.0$$

$$q' * Nq = 139.9$$

$$0.5 * B * \gamma' * N\gamma = 18.3 \quad 31.1 \quad 24.4$$

$$qdop = 158 \quad 171 \quad 164 \text{ kPa}$$

Can.FEM EUR. DIN

L

$$F_{\max_nef} = 1809 \text{ kN}$$

$$F_{\max_nef} = 164 \text{ kN/m}$$

AVG

$$164 \text{ kPa}$$

| | | | |
|--|-----|-----------------------|---------|
| Design σ _d = q _u /(γ _{RV}) | EC7 | σ _{d(PP2)} = | 236 kPa |
|--|-----|-----------------------|---------|

Točkovni temelj v nasipu

Določitev dopustne obremenitve plitvega temelja

Temelj:

| | | |
|--------|--------|--------------------------------|
| B = | 1.5 m | 200 kN |
| L = | 1.5 m | 20 |
| D-glob | 0.80 m | $\gamma'' = 21 \text{ kN/m}^3$ |

Zemljinja:

| | |
|------------|---------------------|
| $\gamma =$ | 7.0 kN/m^3 |
| $\phi =$ | 24 |
| c = | 0 kPa |

| | |
|-----------|-------------------|
| $\phi' =$ | 17 |
| c' = | 0.00 kPa |

Mobilizacija:

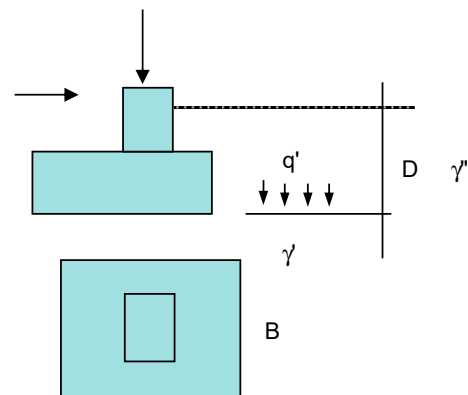
| | | |
|------------|-----|-------------|
| $F_c =$ | 2.0 | (2.0 - 2.5) |
| $F_\phi =$ | 1.5 | (1.5) |

Efektivna nap. na dnu temelja:

| | |
|--------|--------------------|
| $q' =$ | 16.80 kPa |
|--------|--------------------|

Koefficienti nosilnosti:

| | | |
|---------------------------|-------|--|
| $N_q(f_i) =$ | 4.56 | Canadian FEM 1985 Vesic (1975), Caquot&Kerisel 1953, EUROCODE DIN 4017 |
| $N_c(f_i) =$ | 12.00 | |
| $N_{\gamma}(f_i) =$ | 1.59 | |
| $N_{\gamma\gamma}(f_i) =$ | 3.30 | |
| $N_{\gamma\gamma}(f_i) =$ | 2.11 | |



Dopustna obremenitev:

$$q_{dop} = c^* N_c + q^* N_q + 0.5 * B * \gamma' * N_\gamma$$

$$q_{dop} (\text{DIN}) = 0 * 12 + 16.8 * 4.56 + 0.5 * 1.5 * 7 * 2.11$$

$$c^* N_c = 0.0$$

$$q^* N_q = 76.6$$

$$0.5 * B * \gamma' * N_\gamma = 8.3 \quad 17.3 \quad 11.1$$

$$q_{dop} = 85 \quad 94 \quad 88 \text{ kPa}$$

Can.FEM EUR. DIN

Avg

89 kPa

| | | |
|---|-----|--|
| Design $\sigma_d = q_u / (\gamma_{RV})$ | EC7 | $\sigma_d(\text{PP2}) = 130 \text{ kPa}$ |
|---|-----|--|

ENV 1997 - 3 /P 115**ANNEX B4****OŠ Galjevica**

Vrhnika

NOSILNOST PILOTOV IZ CPT**Mejna nosilnost konice pilota**

$$N_{max_kon} = 0.5 * ap * b * s * ((Q_{cl} + Q_{cl\parallel})/2 + Q_{cl\parallel\parallel})$$

$$N_{max_kon} \leq 15 \text{ MPa}$$

| | | | | | | | | | |
|----------|---------------|-----------------------|--------------------------------|-------------|---------|---------|-----------|---|---|
| Podatki: | $Q_{cl} = 10$ | $Q_{cl\parallel} = 8$ | $Q_{cl\parallel\parallel} = 1$ | $ap = 0.80$ | $s = 1$ | $b = 1$ | $a/b = 1$ | Qc avg tip pilota faktor oblike konice faktor oblike konice razmerje stranic pilota | 4D pod konico - povprečje minimalno 4D pod konico 8D nad konico |
|----------|---------------|-----------------------|--------------------------------|-------------|---------|---------|-----------|---|---|

$$\sigma_{N_{max_kon}} = 4 \text{ MPa} \Rightarrow 4 \text{ MPa}$$

| | |
|----------------------------------|-----------------------|
| Pilot | 60 cm |
| A kon = | 0.2827 m ² |
| N kon = | 1,131 kN |
| F konice = | 1 |
| $N_{kon_F} = 1131.0 \text{ kN}$ | |

$$2=KVADRATNI, 2=OKROGEL$$

površina konice pilota Obseg plašča = 1.88
mejna - porušna obremenitve pilota
varnostni koeficient
povprečen mejni odpor konice pilota = 4,000 kPa

Mejna nosilnost pilota po plašču

| Dolžina pilota v tleh do globine | del m | Obseg (m) | Qc (MPa) | Qc_kor (MPa) | ap | as | z/d | Fs_mej (kPa) | Fs_mej (MN) | ED% | Type |
|--------------------------------------|-------|-----------|----------|--------------|-----|-------|--------|--------------|-------------|-----|------|
| 3.0 | 3 | 1.88 | 1.00 | 1 | 0.8 | 0.035 | 5.642 | 28 | 0.158 | 40% | c |
| 7.0 | 4 | 1.88 | 0.50 | 0.5 | 0.8 | 0.025 | 13.164 | 10 | 0.075 | 50% | c |
| 11.0 | 4 | 1.88 | 0.40 | 0.4 | 0.8 | 0.055 | 20.687 | 17.6 | 0.133 | 60% | c |
| 16.0 | 5 | 1.88 | 0.80 | 0.8 | 0.8 | 0.055 | 30.090 | 35.2 | 0.332 | 60% | c |
| Mejna obremenitev pilota po plašču = | | | | | | | | 0.698 | 54% | | |

16

$$F_{plašč} = 1$$

varnostni koeficient - plašč

$$N_{plašč_F} = 698 \text{ kN}$$

$$\text{povprečni mejni odpor po plašču : } 23 \text{ kPa}$$

$$N_{mej} = 1829 \text{ kN}$$

mejna - porušna obremenitev pilota

$$N(F) = 1829 \text{ kN}$$

dopustna obremenitev pilota

$$\text{teža pilota} = 23 \text{ kN}$$

<z odštetno tezo pilota pod vodo

$$N(F) = 1807 \text{ kN}$$

$$\text{Mejna nosilnost} = 1,807 \text{ kN}$$

$$F_{cd} (\text{projektni odpor}) = 1,807 / 1.54 = 1,173 \text{ kN}$$

$$F_d (\text{dopustna obremenitev za nefaktorirane obremenitve}) : 821 \text{ kN}$$

PREGLEDNICA NOSILNOSTI PILOTOV
 $f_s(\alpha_p=1) = 29 \text{ kPa}$
 $s_t(\alpha_k=1) = 5,000 \text{ kPa}$
OŠ Galjevica

Dolžina =>

16 m

Fk/p =

1.0 1.0

| TIP | A _k | Obseg | a _p | a _{p_k} | N _{pl_(u)} | N _{kon_(u)} | Teža' | N(u)_zem | F _{cd_EC7} | F _{dop_F2} |
|--------|----------------|-------|----------------|----------------------------|---------------------|----------------------|-------|----------|---------------------|---------------------|
| PAB25 | 0.0625 | 1.000 | 1.00 | 1.00 | 463 | 313 | 15 | 761 | 494 | 346 |
| PAB35 | 0.1225 | 1.400 | 1.00 | 1.00 | 648 | 613 | 29 | 1,231 | 800 | 560 |
| PAB40 | 0.16 | 1.600 | 1.00 | 1.00 | 741 | 800 | 38 | 1,502 | 976 | 683 |
| CENT42 | 0.139 | 1.319 | 1.00 | 1.00 | 611 | 693 | 33 | 1,270 | 825 | 577 |
| CENT50 | 0.196 | 1.571 | 1.00 | 1.00 | 727 | 982 | 47 | 1,662 | 1,079 | 755 |
| CFA60 | 0.283 | 1.885 | 0.80 | 0.80 | 698 | 1,131 | 68 | 1,761 | 1,144 | 881 |
| UVR60 | 0.283 | 1.885 | 0.60 | 0.60 | 524 | 848 | 68 | 1,304 | 847 | 652 |